

# 数理物理への量子情報論的アプローチ

松枝宏明(仙台高専)

## 沼津研究会との関わり

第20回沼津研究会（初めての参加，鈴木先生のお供）：  
鈴木増雄先生（統計物理，青本和彦先生と同級）  
「物理と数学の絡み合いによる発展」

第24回沼津研究会：

待田先生からのメール（抜粋）

「本屋で松枝さんの書かれた『量子系のエンタングルメントと幾何学』  
を拝見しました。ちょっと値段が高く買えませんでしたけれど，  
興味を持ちました。本の内容について分かりやすくお話しをして  
もらえればと思います。」

2017年3月3日（金）：

鈴木先生の傘寿のお祝い研究会（東大）



昨年、本を出版しました。



出版元：森北出版

価格：8,000円＋税

(高くなってしまってますみません…)

分量：400ページ

高柳匡教授(京大基研)に書いて  
いただいた帯の作文：

情報理論の考え方をを用いることで、  
物理学のさまざまな分野を融合し  
ようという理論物理学の最先端の  
話題を丁寧に手際よく解説して  
いる。物理学の研究者のみならず、  
これから理論物理学を志す大学生  
にもぜひお勧めしたい。

# 本の目次

第1章: 物理学諸分野と情報理論の接点: 歴史的経緯

第2章: 物理的情報とその要素分解: 高次元からの俯瞰的視点

第3章: 量子もつれ(エンタングルメント)

第4章: 行列積状態

第5章: テンソル・ネットワークの数理

第6章: 可積分系における余剰自由度の役割

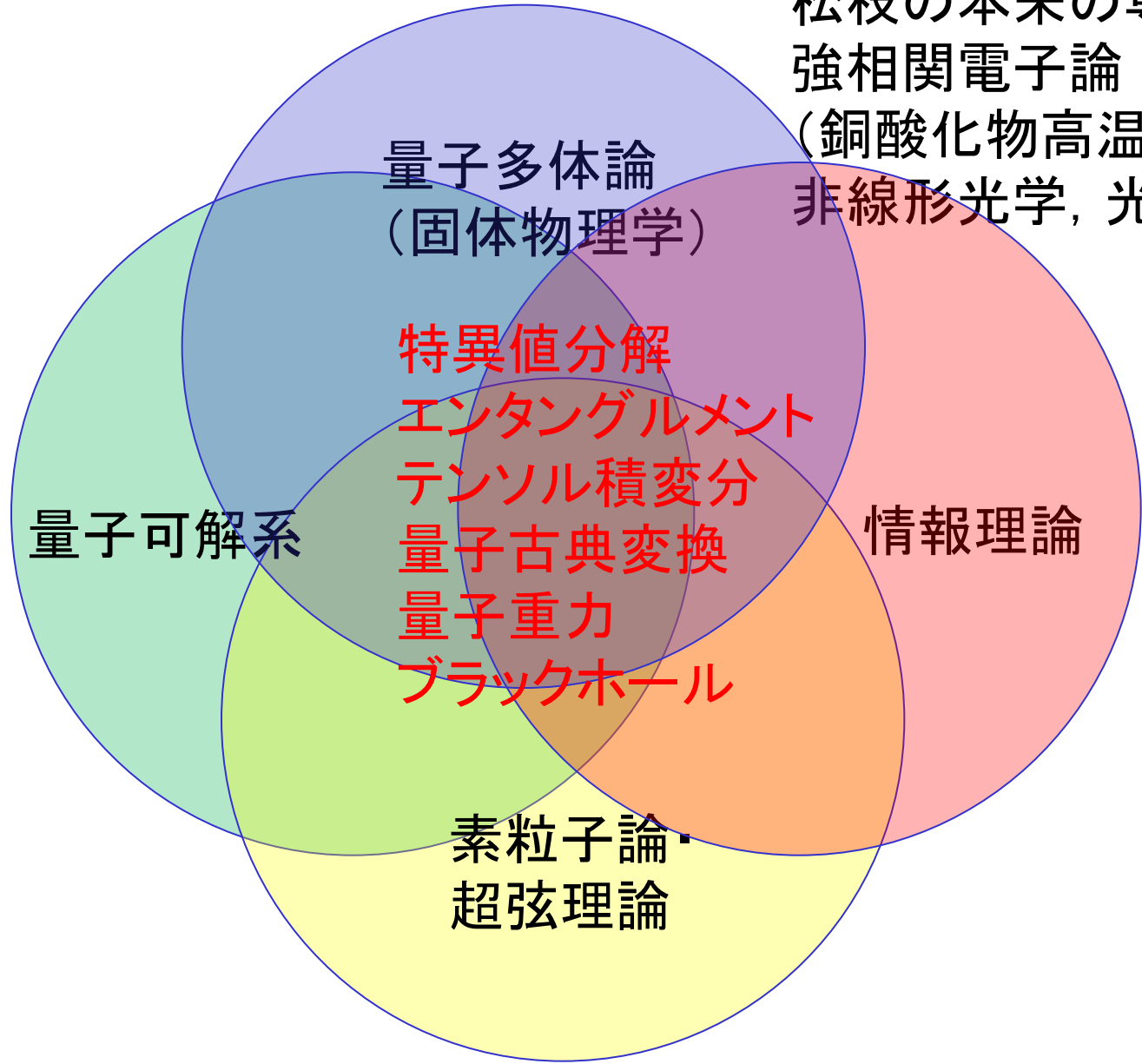
第7章: 情報・エントロピーと重力の関わり

第8章: 共形場理論とエントロピー公式

第9章: テンソル自由度から時空へ: くりこみ群の現代的な視点

第10章: 量子情報幾何との融合に向けて

# 近年の異分野融合的研究の展開



松枝の本来の専門:  
強相関電子論  
(銅酸化物高温超伝導,  
非線形光学, 光誘起相転移)

# 研究の動機と目的

複雑なデータを高次元空間のより簡単なデータ集合で表現して見通し良く解析する情報論的手法が、物理学の様々な分野で自然に現れてきている。とりわけ、**次世代の理論物理学を構築するための指導原理**としての認識が高まっている。それらの発展を念頭に置いて、**異分野に共通する数理構造の抽出と物理学としての意義づけ**を行うことを目的とする。

## 【松枝の具体的な研究課題例】

- (1) 量子くりこみ群の構築
  - (2) 量子多体系に対するテンソル積変分法の開発・応用
  - (3) テンソル積変分法の時空物理・ブラックホールへの応用
  - (4) 情報幾何的手法によるゲージ重力対応の解析
  - (5) 量子可積分系とウェーブレットの関わり
  - (6) 画像処理的手法による統計物理モデルの臨界的性質の抽出
  - (7) 特異値分解のメルン逆変換とくりこみ群の関わり
- などなど。

# 鍵となるコンセプト・量子情報理論の有用性

## 「エンタングルメント(量子もつれ)」と「ホログラフィー原理」

### エンタングルメント・エントロピー

- ～相関関数の対数
- ～スケーリング公式, 共形場理論による精密化

### テンソル積状態(テンソル・ネットワーク)

- ～エンタングルメント・エントロピーのスケール性を備えた量子多体系の変分波動関数
- ～量子可解模型からの数理的基礎づけ K, post-K

### ホログラフィー原理(バルク・境界対応)

- ～d次元量子系と(d+1)次元の一般相対論をつなぐ概念
- ～量子データの古典表現・古典的メモリとしての見方
- ～量子情報幾何からの基礎づけ

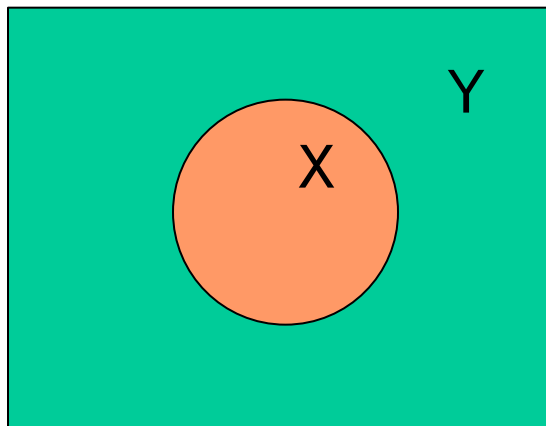


情報理論による統計力学・場の理論の再構築

# エンタングルメント・エントロピー

全系 =  $X+Y$ : “Superblock”, “Universe”

$$|\psi\rangle = \sum_{x,y} \psi(x,y) |x\rangle \otimes |y\rangle \quad \begin{array}{l} x \in X \\ y \in Y \end{array}$$



部分系  $X, Y$  に対する縮約密度行列

$$\rho_X = \text{Tr}_Y |\psi\rangle\langle\psi|$$

$$\rho_Y = \text{Tr}_X |\psi\rangle\langle\psi|$$

エンタングルメント・エントロピー

$$S_X = -\text{Tr}_X (\rho_X \log \rho_X)$$

$$S_Y = -\text{Tr}_Y (\rho_Y \log \rho_Y)$$

エンタングルメント =  $X, Y$  境界での情報の流れに関する量



# 特異値分解 (Singular Value Decomposition, SVD)

## 行列 $\Psi$ の特異値分解

$$\psi(x, y) = \sum_l U_l(x) \sqrt{\Lambda_l} V_l(y)$$

$\Lambda_l$  : 特異値 (非負の量)

$U_l(x), V_l(y)$  : ユニタリ一行列

$$\rho_X(x, x') = \sum_y \psi(x, y) \psi^*(x', y) = \sum_l U_l(x) \Lambda_l U_l^*(x')$$

$$\rho_Y(y, y') = \sum_x \psi(x, y) \psi^*(x, y') = \sum_l V_l(y) \Lambda_l V_l^*(y')$$

部分系のフォン・ノイマン・エントロピー = エンタングルメント  
→ 「面積則」 (Area-law scaling)

$$S_X = - \sum_l \lambda_l \log \lambda_l = S_Y \quad \lambda_l = \Lambda_l / \sum_l \Lambda_l$$

# エンタングルメント・エントロピーのスケーリング公式

励起ギャップのある系⇒面積則

$$S = \alpha L^{d-1} + \dots$$

量子臨界系⇒面積則の対数的破れ

$$S = \frac{1}{3} C L^{d-1} \log L + \dots$$

C: 有効的な励起モードの数 (1Dでは共形場理論の中心電荷)

Topological Entanglement Entropy (d=2)

$$S = \alpha L - \gamma$$

有限エンタングルメント・スケーリング

$$S_{MPS} = \frac{1}{\sqrt{12/c} + 1} \log \chi$$

# エンタングルメントと波動関数の因子化

S=1/2 Heisenberg 反強磁性体 (2サイト)

$$H = \vec{S}_1 \cdot \vec{S}_2 = \frac{1}{2} (S_1^+ S_2^- + S_1^- S_2^+) + S_1^z S_2^z$$

基底表現:  $|\uparrow\uparrow\rangle, |\uparrow\downarrow\rangle, |\downarrow\uparrow\rangle, |\downarrow\downarrow\rangle$

$$|0\rangle = \frac{1}{\sqrt{2}} (|\uparrow\downarrow\rangle - |\downarrow\uparrow\rangle)$$

$$E_0 = -\frac{3}{4}$$

$$H = \begin{pmatrix} \frac{1}{4} & 0 & 0 & 0 \\ 0 & -\frac{1}{4} & \frac{1}{2} & 0 \\ 0 & \frac{1}{2} & -\frac{1}{4} & 0 \\ 0 & 0 & 0 & \frac{1}{4} \end{pmatrix}$$

一般的な変分関数:

Nサイトの場合  $\Rightarrow$  変分パラメータは  $2^N$  個

$\sim$  数値計算には不向き

$$E = \langle \psi | H | \psi \rangle / \langle \psi | \psi \rangle$$

$$|\psi\rangle = A|\uparrow\uparrow\rangle + B|\uparrow\downarrow\rangle + C|\downarrow\uparrow\rangle + D|\downarrow\downarrow\rangle$$

$\Rightarrow$  最小化

局所近似ではシングレットを表現できない。

$$|\psi\rangle = \sum_{s_1=\uparrow,\downarrow} a^{s_1} |s_1\rangle \otimes \sum_{s_2=\uparrow,\downarrow} c^{s_2} |s_2\rangle$$
$$= a^\uparrow c^\uparrow |\uparrow\uparrow\rangle + a^\uparrow c^\downarrow |\uparrow\downarrow\rangle + a^\downarrow c^\uparrow |\downarrow\uparrow\rangle + a^\downarrow c^\downarrow |\downarrow\downarrow\rangle$$

$$a^\uparrow c^\uparrow = 0$$

$$|0\rangle = \frac{1}{\sqrt{2}} (|\uparrow\downarrow\rangle - |\downarrow\uparrow\rangle) \quad a^\downarrow c^\downarrow = 0$$

$$a^\uparrow c^\downarrow = 1/\sqrt{2}$$

$$a^\downarrow c^\uparrow = -1/\sqrt{2}$$

解がない！

$$|\psi\rangle = |1\rangle \otimes |2\rangle \quad \text{直積状態}$$

$$\rho_1 = \text{Tr}_2 |\psi\rangle\langle\psi| = |1\rangle\langle 1| \quad S_1 = -\text{Tr}_1 \rho_1 \log \rho_1 = 0$$

直積状態のエンタングルメントはゼロ

しかし、系統的数値計算のためには局所表現は捨てがたい。

## ベクトル積状態

$$|\psi\rangle = \sum_{s_1, s_2} a^{s_1} c^{s_2} |s_1 s_2\rangle \Rightarrow \sum_{s_1, s_2} A^{s_1} C^{s_2} |s_1 s_2\rangle$$

$$A^{s_1} = (a_1^{s_1}, a_2^{s_1})$$
$$C^{s_2} = \begin{pmatrix} c_1^{s_2} \\ c_2^{s_2} \end{pmatrix}$$

見かけは局所分解だが厳密解が作れる

⇒エンタングルメントを表現する内部自由度を導入

$$|\psi\rangle = \sum_{\alpha=1}^{\chi=2} \left\{ \sum_{s_1=\uparrow, \downarrow} a_{\alpha}^{s_1} |s_1\rangle \otimes \sum_{s_2=\uparrow, \downarrow} c_{\alpha}^{s_2} |s_2\rangle \right\}$$
$$= (a_1^{\uparrow} c_1^{\uparrow} + a_2^{\uparrow} c_2^{\uparrow}) |\uparrow\uparrow\rangle + (a_1^{\uparrow} c_1^{\downarrow} + a_2^{\uparrow} c_2^{\downarrow}) |\uparrow\downarrow\rangle$$
$$+ (a_1^{\downarrow} c_1^{\uparrow} + a_2^{\downarrow} c_2^{\uparrow}) |\downarrow\uparrow\rangle + (a_1^{\downarrow} c_1^{\downarrow} + a_2^{\downarrow} c_2^{\downarrow}) |\downarrow\downarrow\rangle$$

$$a_1^{\uparrow} = c_2^{\uparrow} = a_2^{\downarrow} = c_1^{\downarrow} = 0$$

$$|\psi\rangle = |0\rangle \quad \chi=2 \text{ ととれば厳密}$$

$$a_2^{\uparrow} c_2^{\downarrow} = 1/\sqrt{2}$$

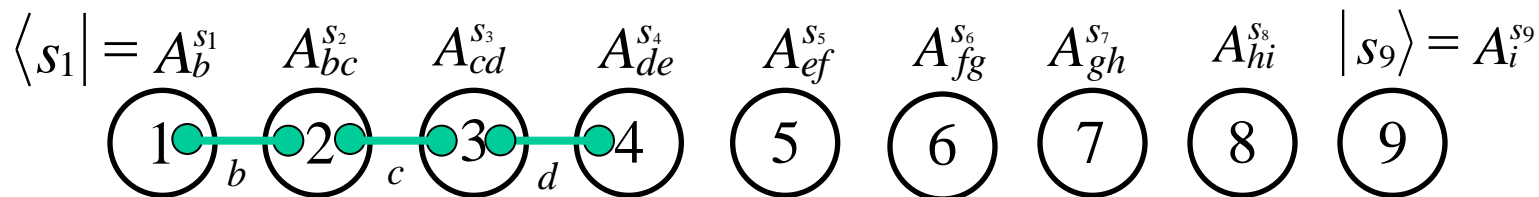
$$a_1^{\downarrow} c_1^{\uparrow} = -1/\sqrt{2}$$

$$A^{\uparrow} = (x, y), A^{\downarrow} = (z, w), C^{\uparrow} = \begin{pmatrix} \frac{y}{xw-yz} \\ x \\ \frac{yz-xw}{yz-xw} \end{pmatrix}, C^{\downarrow} = \begin{pmatrix} \frac{w}{xw-yz} \\ z \\ \frac{yz-xw}{yz-xw} \end{pmatrix}$$

# 行列積状態 (Matrix Product State, MPS)

開放端条件でのMPS (端がベクトルで閉じる)

$$|\psi\rangle = \sum_{\{s_1, s_2, \dots, s_n\}} \langle s_1 | A_2^{s_2} A_3^{s_3} \cdots A_{n-1}^{s_{n-1}} | s_n \rangle | s_1 s_2 \cdots s_n \rangle$$



$A_j^{s_j}$   $\chi \times \chi$ ,  $\chi$ : 非物理的自由度

$s_j = \uparrow, \downarrow$ : 物理的自由度

行列 = 非物理的自由度の物理的自由度への写像



非物理的自由度とは何か?  $\Rightarrow$  エンタングルメント

$\Psi$ : 局所的行列の積  $\Leftrightarrow$  非局所相関

# 周期境界条件

$$|\psi\rangle = \sum_{\{s_1, s_2, \dots, s_n\}} \text{tr} \left( A_1^{s_1} A_2^{s_2} \cdots A_n^{s_n} \right) |s_1 s_2 \cdots s_n\rangle$$

## エンタングルメント・エントロピー

$$S = 2 \log \chi$$

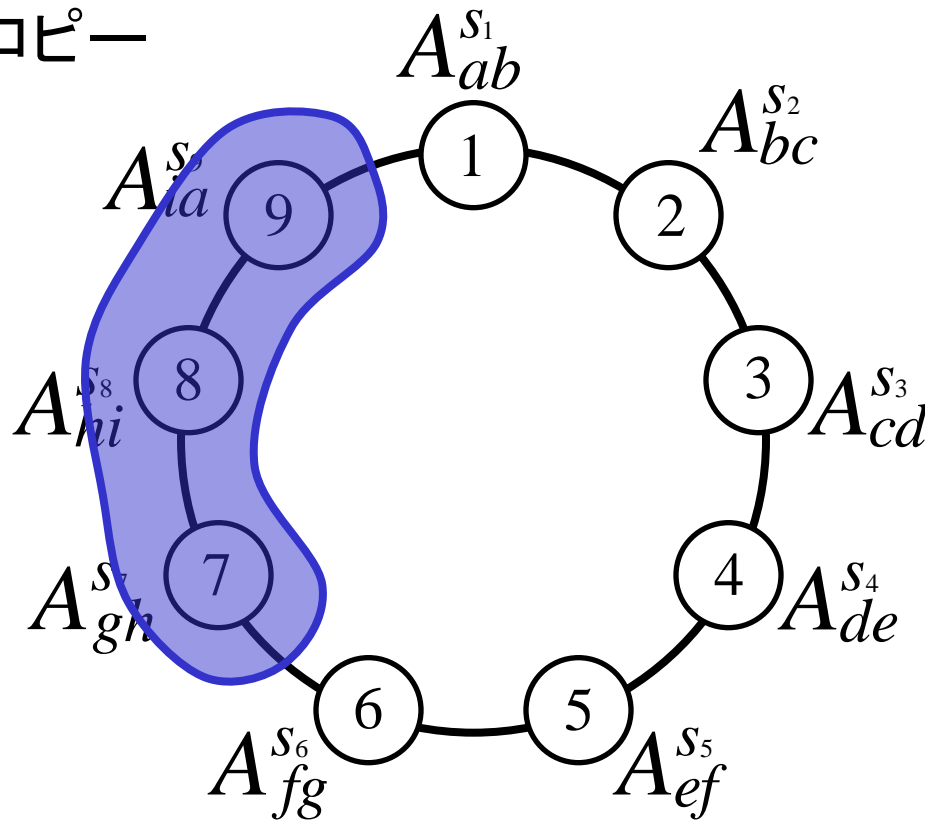
適切な  $\chi$  の値の評価:

非臨界系  $\sim L^{1-1} = \text{定数}$

臨界系  $\sim O(L^{c/6})$

$$2 \log \chi = \frac{c}{3} \log L$$

$$\Rightarrow \chi = L^{c/6}$$



# ベータ仮説法からの基礎づけ

(1) 代数的ベータ仮説法の基底変換  $\Rightarrow$  MPS

(2) 行列積ベータ仮説法

最高ウェイト状態からM個の励起を生成する場合:

$$\psi_{\Omega}(x_1, \dots, x_M) = \text{Tr}(E^{x_1-1} A E^{x_2-x_1-1} A \cdots E^{x_M-x_{M-1}-1} A E^{L-x_M} \Omega)$$

$$A = \sum_{j=1}^M A_{k_j} E \quad E A_{k_j} = e^{ik_j} A_{k_j} E$$

$$A_{k_j} A_{k_j} = 0 \quad A_{k_j} A_{k_l} = s(k_j, k_l) A_{k_l} A_{k_j}$$

$$E\Omega = e^{-ip} \Omega E$$

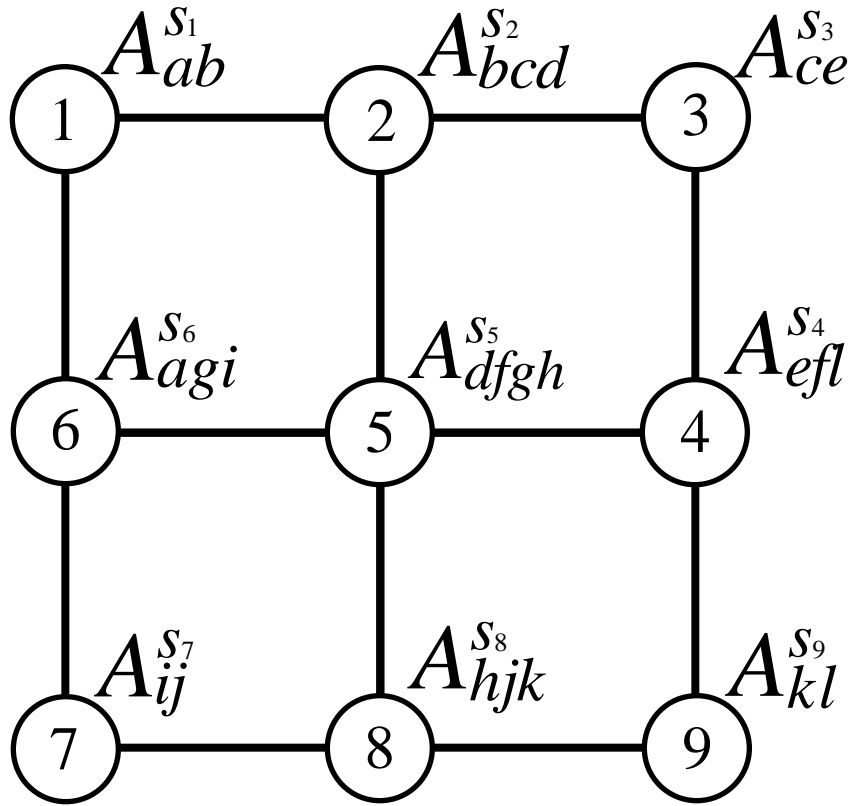
(3) 座標ベータ仮説法の直観的な因子化法

$$\psi = e^{ik_1x_1+ik_2x_2} + \Theta e^{ik_1x_2+ik_2x_1} = \begin{pmatrix} e^{ik_1x_1} & e^{ik_2x_1} \\ \Theta & 0 \end{pmatrix} \begin{pmatrix} 0 & 1 \\ \Theta & 0 \end{pmatrix} \begin{pmatrix} e^{ik_1x_2} \\ e^{ik_2x_2} \end{pmatrix}$$

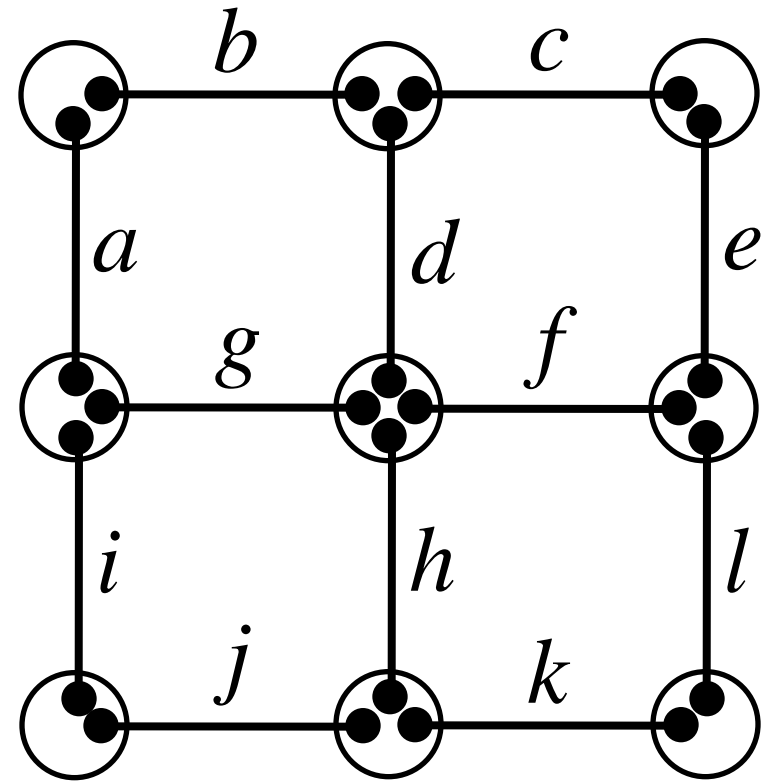


# Tensor Product State (TPS), Tensor Network State (TNS)

Projected Entangled Pair State (PEPS)



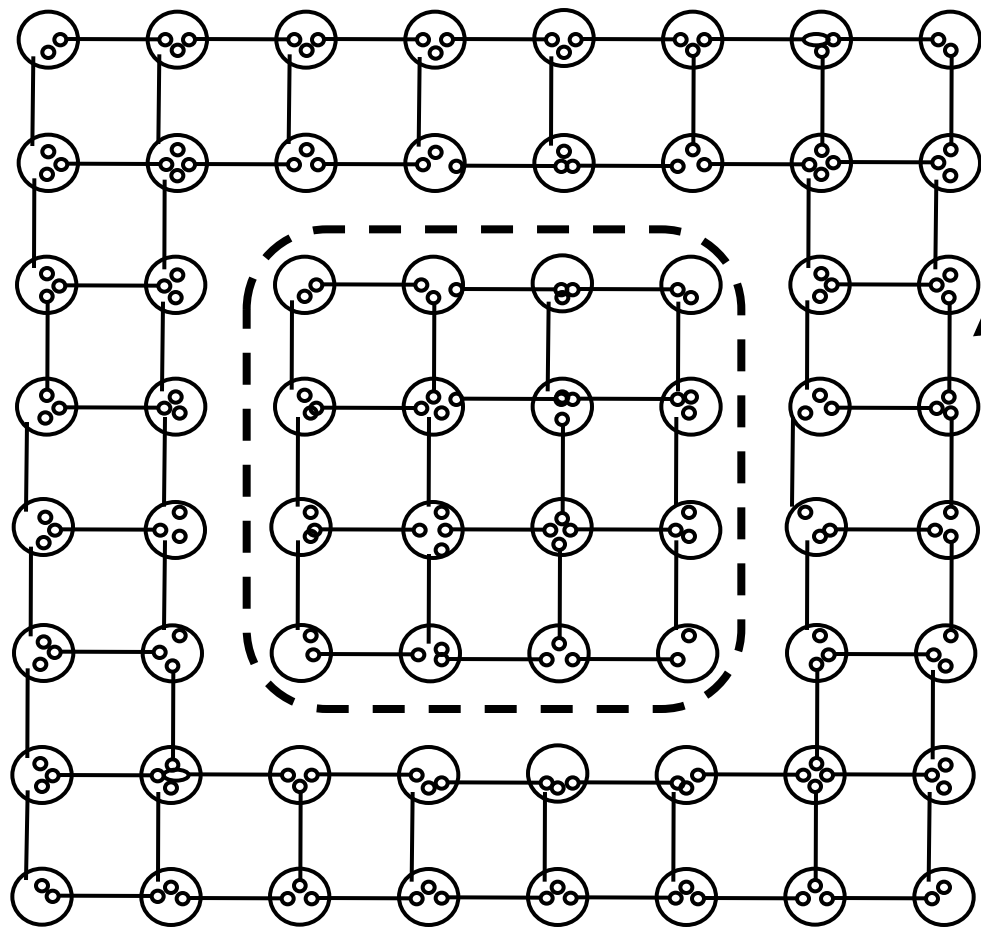
(a)



(b)

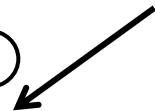
$$|\psi\rangle = \sum_{\{s_j\}} \sum_{a,b,\dots,l} A_{ab}^{s_1} A_{bcd}^{s_2} A_{ce}^{s_3} A_{efl}^{s_4} A_{dfgh}^{s_5} A_{agi}^{s_6} A_{ij}^{s_7} A_{hjk}^{s_8} A_{kl}^{s_9} |s_1 s_2 \dots s_9\rangle$$

# テンソル積状態のエンタングルメント構造



最大エンタングルメント対

$$|\psi\rangle = \frac{1}{\sqrt{\chi}} \sum_{\alpha=1}^{\chi} |\alpha\alpha\rangle$$

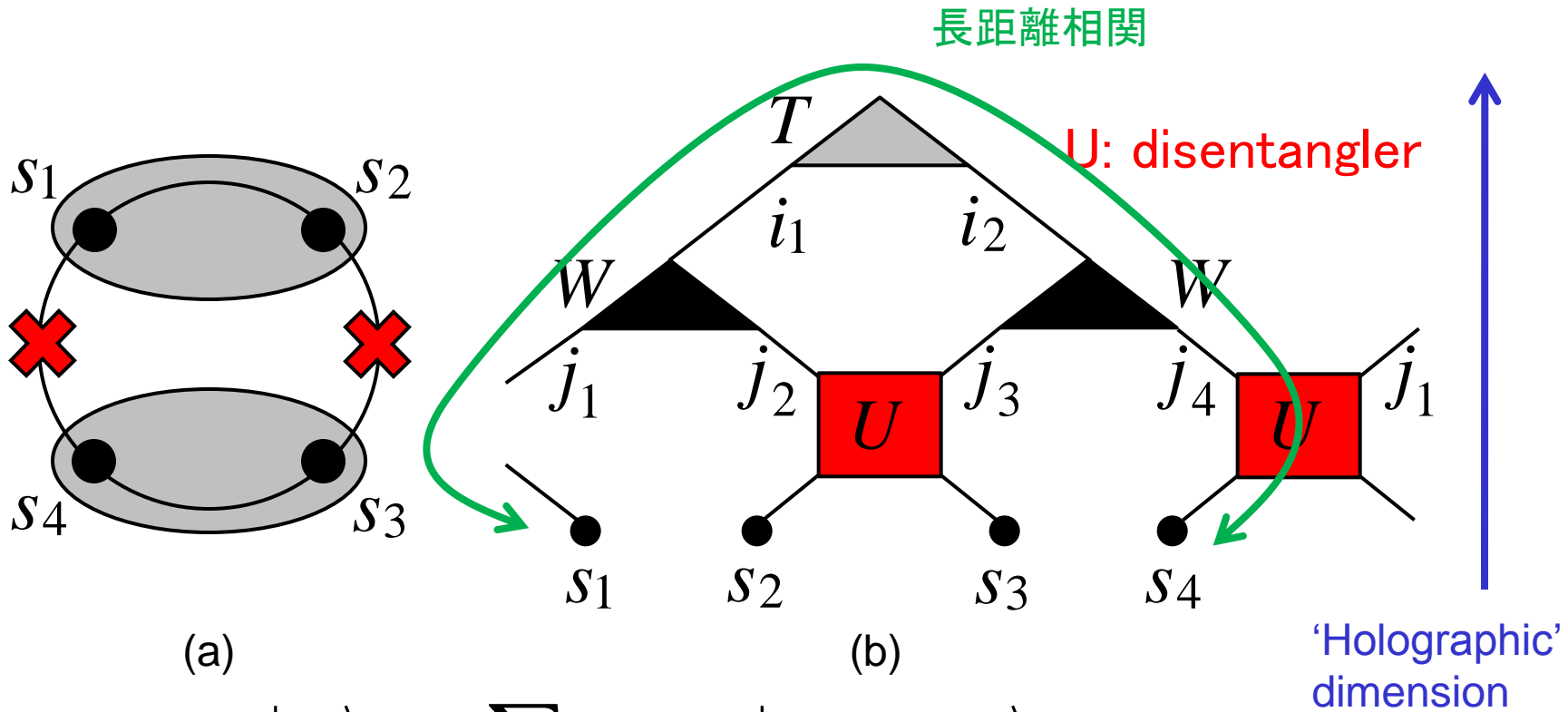


$$S = N_{bond} \log \chi \Rightarrow \text{面積則を自動的に満たす}$$

臨界系の対数補正を正しく記述するには大きな  $\chi$  が必要

# 階層的テンソルネットワーク, エンタングルメントくりこみ

## Multiscale Entanglement Renormalization Ansatz (MERA)



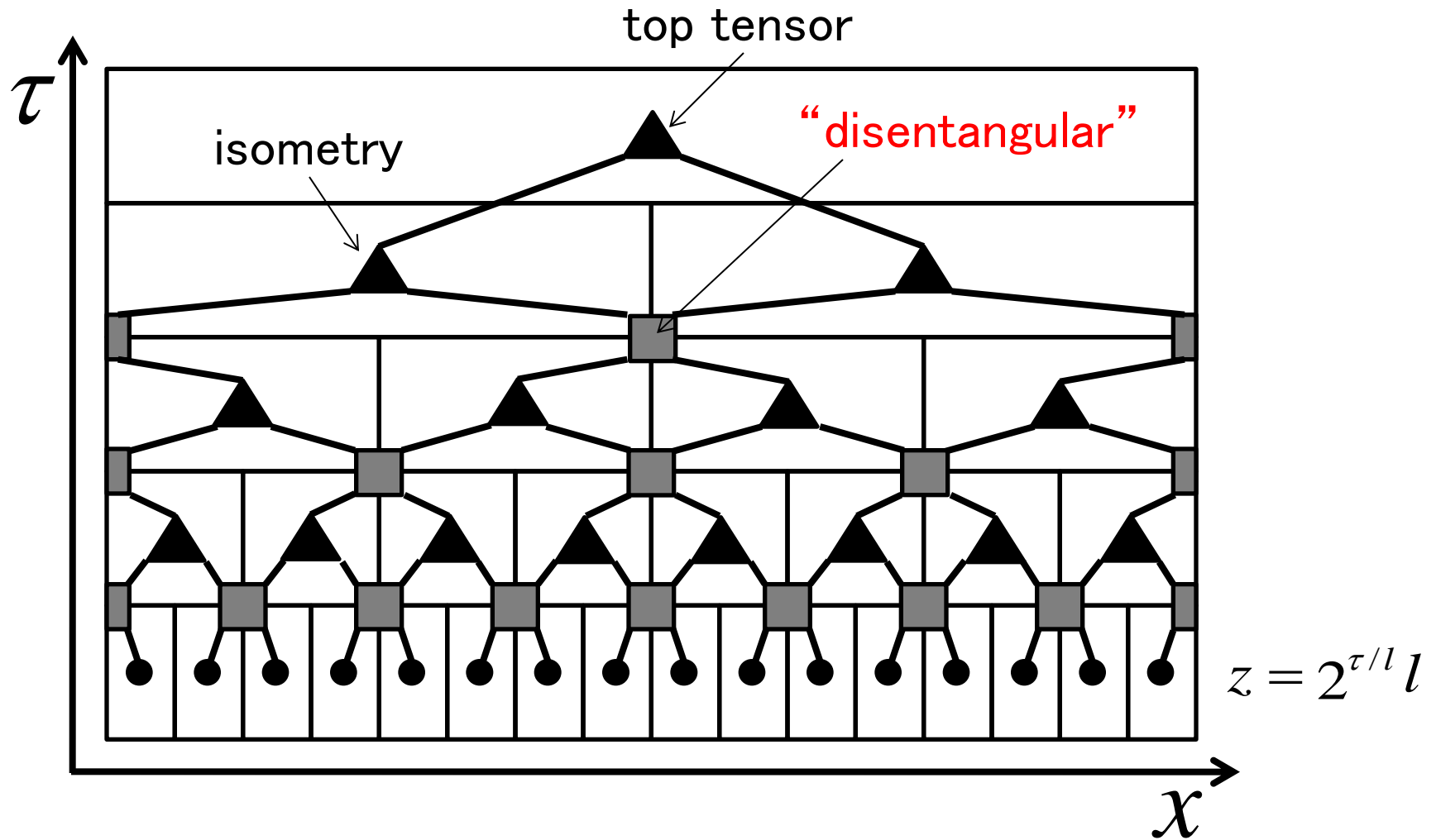
(a)

(b)

$$|\psi\rangle = \sum_{s_1, s_2, s_3, s_4} T_{s_1 s_2 s_3 s_4} |s_1 s_2 s_3 s_4\rangle$$

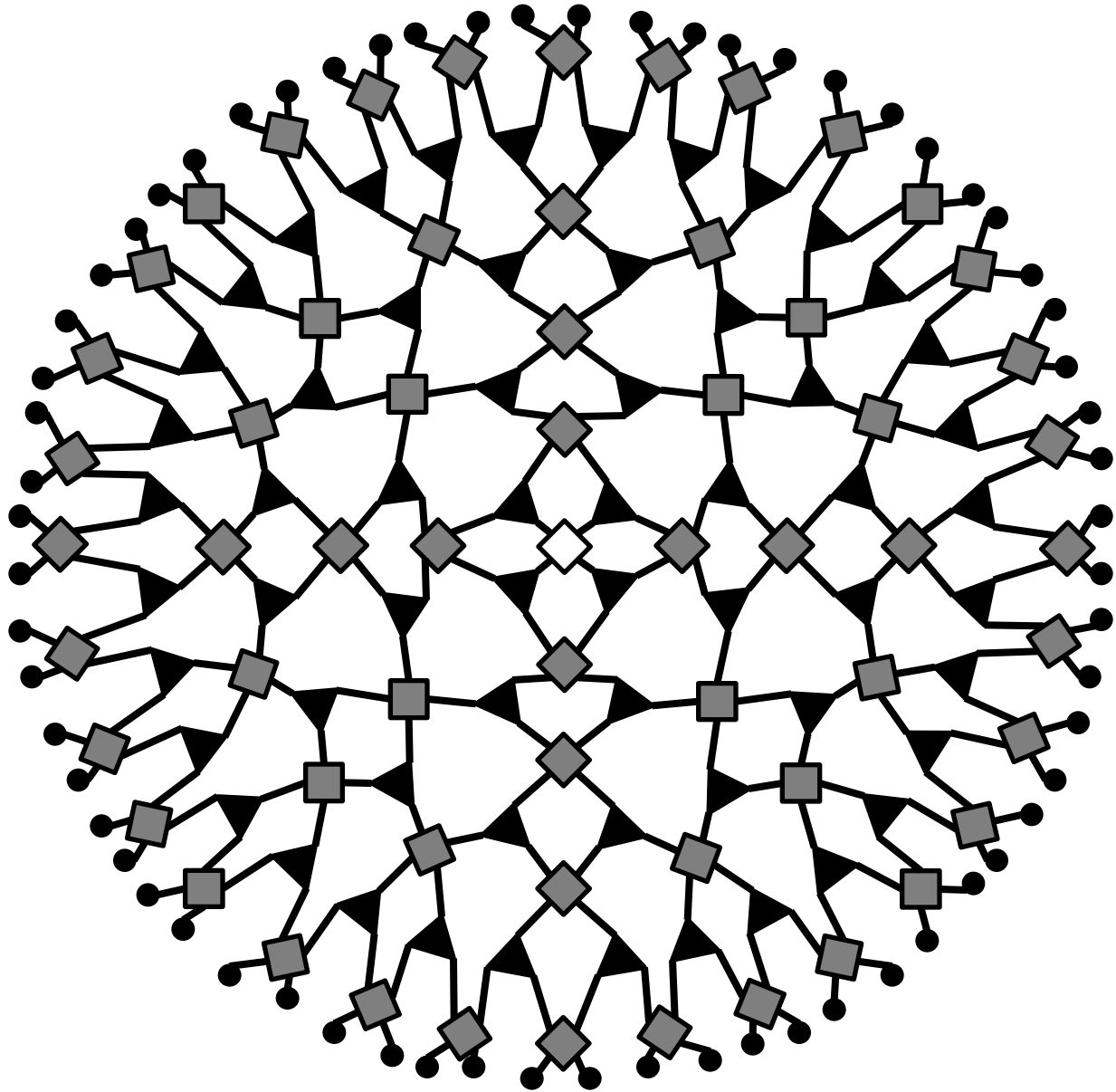
$$|\psi\rangle = \sum_{i_1, i_2} \sum_{j_1, \dots, j_4} \sum_{s_1, \dots, s_4} T_{i_1 i_2} W_{j_1 j_2}^{i_1} W_{j_3 j_4}^{i_2} U_{s_2 s_3}^{j_2 j_3} U_{s_4 s_1}^{j_4 j_1} |s_1 s_2 s_3 s_4\rangle$$

# MERAネットワーク⇒離散的双曲空間

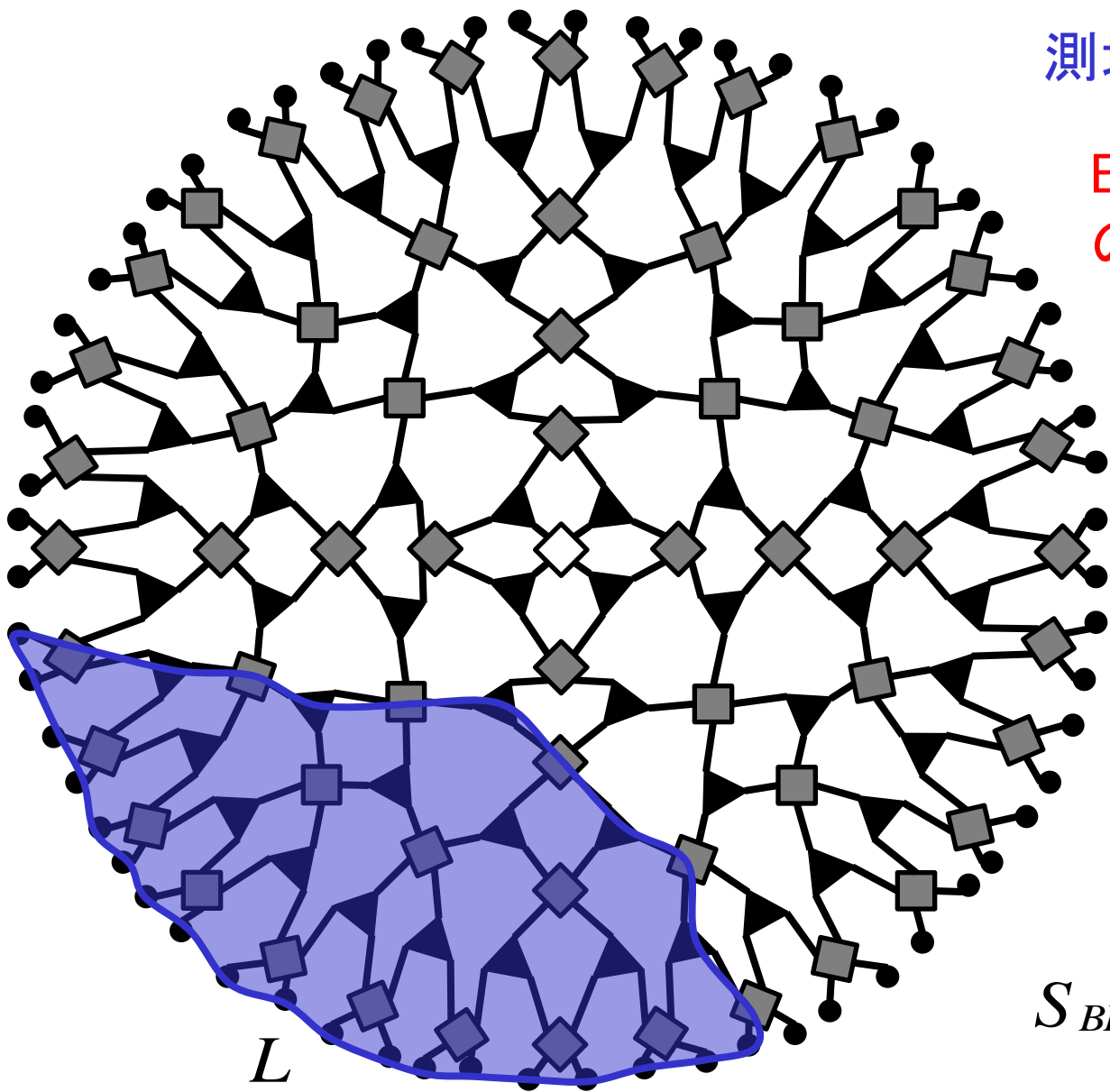


$$ds^2 = (d\tau \log 2)^2 + (2^{-\tau/l} dx)^2 = \frac{l^2}{z^2} (dz^2 + dx^2)$$

# MERAのポアンカレ円板表現



# エンタングルメントとブラックホール・エントロピーの対応



測地線  $\sim 2l \ln L$

Bekenstein-Hawking  
の法則

$$S_{BH} = \frac{A}{4G}$$

Brown-Henneaux  
中心電荷

$$c = \frac{3l}{2G}$$



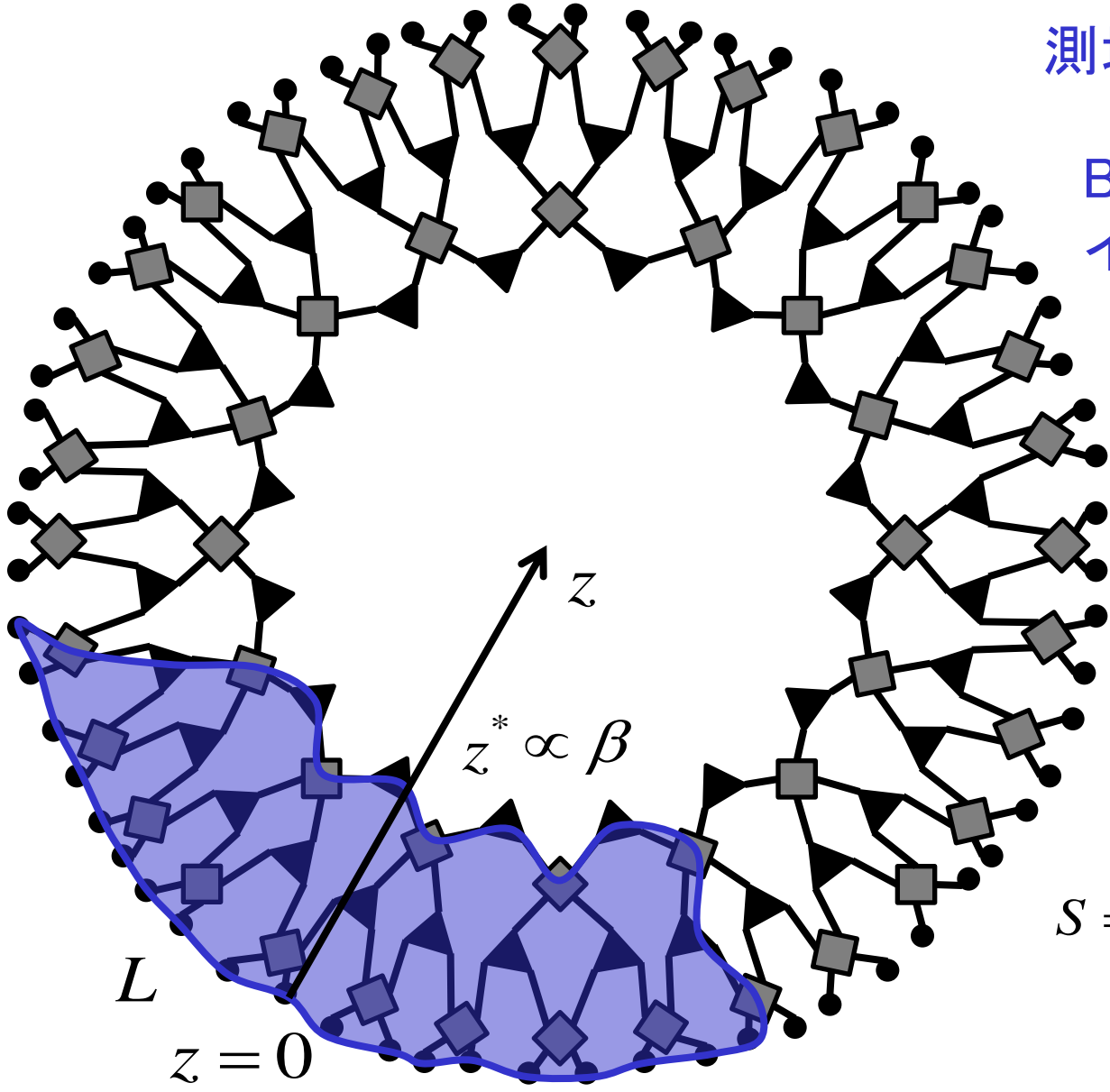
$$S_{BH} = \frac{c}{3} \log L = S_{EE}$$

# BTZブラックホールと有限温度MERAの対応

測地線の変形

BTZブラックホールの  
イベントホライズン

$$z^* \propto \beta$$



$$S = \frac{c}{3} \log \left( \frac{\beta}{\pi} \sinh \left( \frac{\pi L}{\beta} \right) \right)$$

# ゲージ重力対応との類似性

## ホログラフィー原理

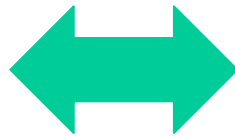
ストリング理論, ブラックホール物理:

トフーフト(1974,1993), サスカインド(1995), マルダセナ(1997)

## AdS/CFT対応

d次元量子系

(共形対称性を持つ)



(d+1)次元古典系

(双曲時空上の一般相対論)

モデル依存

N=4 超対称ヤン・ミルズ理論

$\text{AdS}_5 \times \text{S}^5$ 上のタイプ II B弦理論

ユニバーサルな性質

MERAによるエントロピーの計算

⇔ 笠・高柳の式(ホログラフィック・エントロピー)



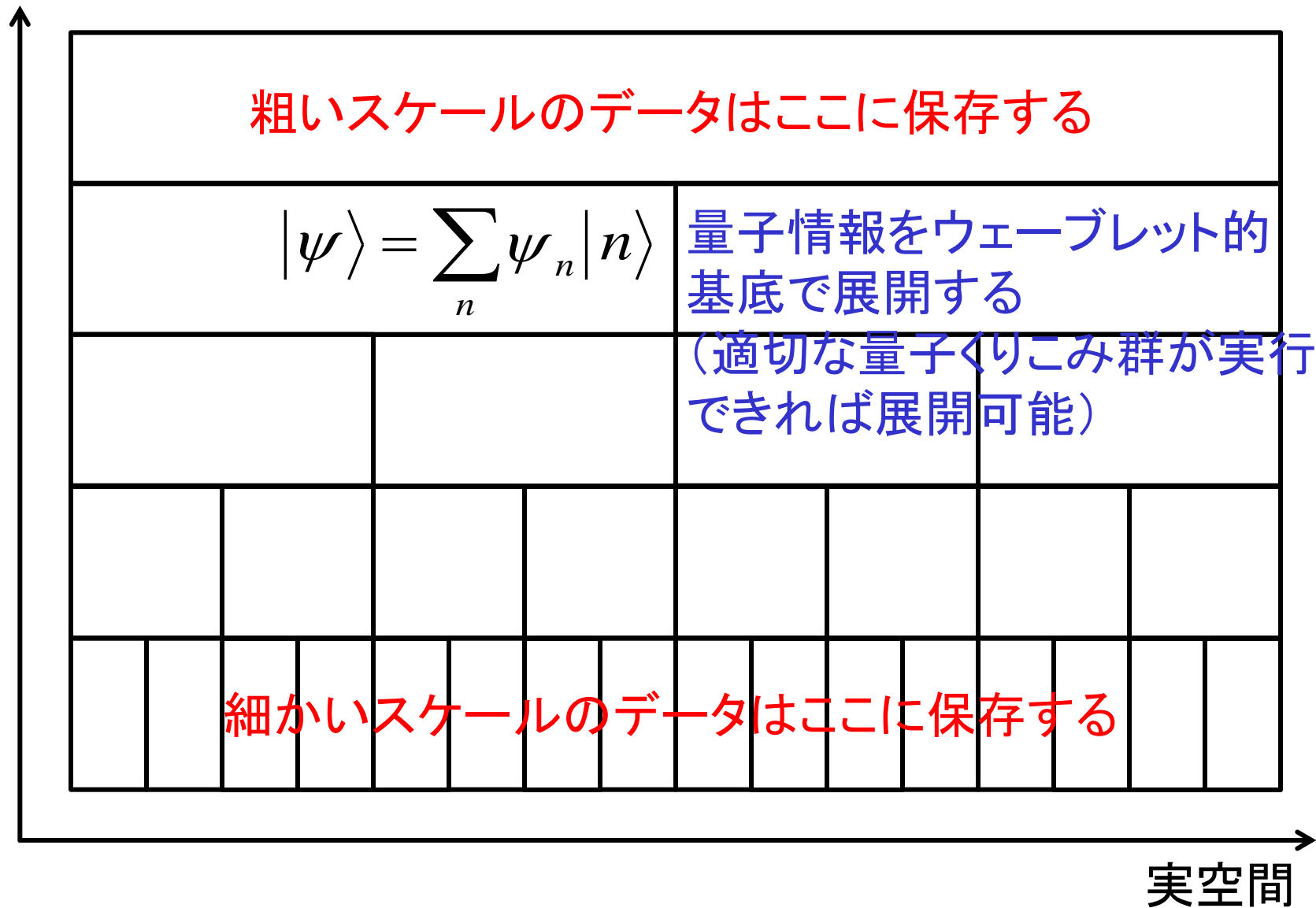
## トークのまとめにかえて

本当はここまでを物性論サイドからのアプローチ・出発点として、色々な展開や異分野連携、私の研究などがあるのですが、トークの時間は限られていますので、この後の時間で色々な議論をよろしくお願いいたします。

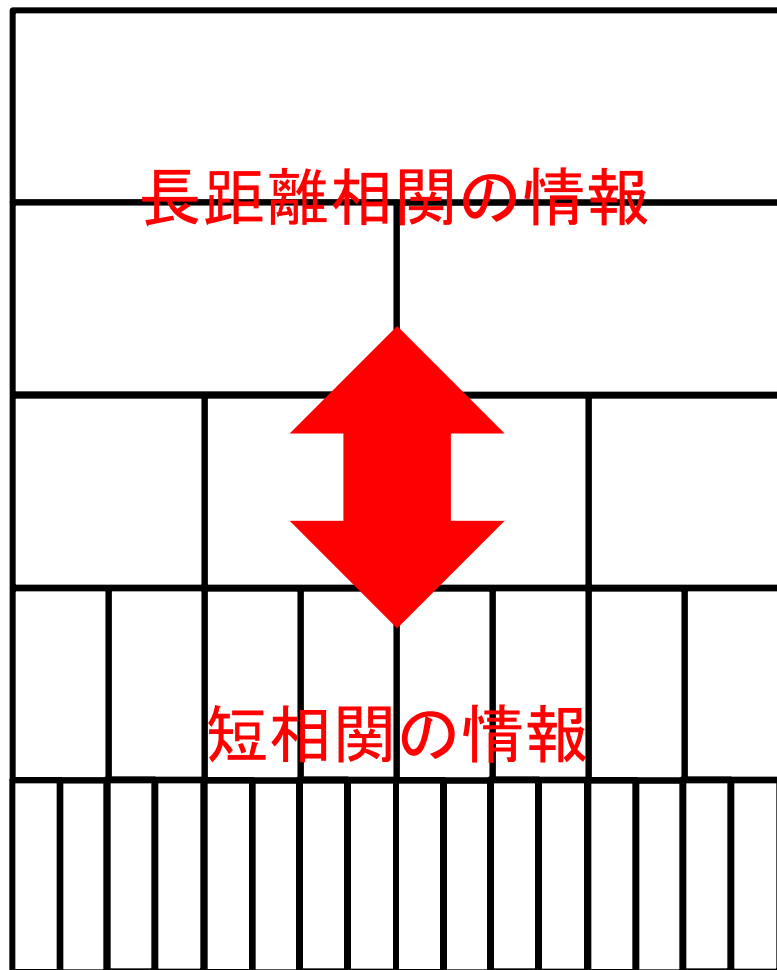


# 双曲空間への量子データ埋め込み

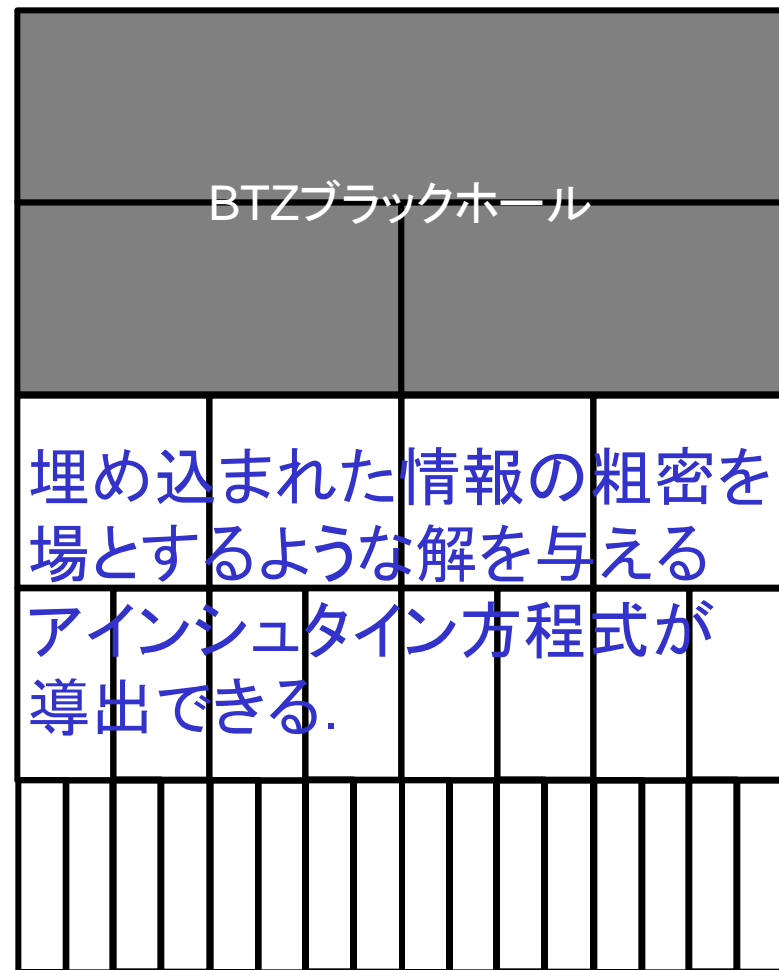
くりこみ軸(エネルギースケール, 長さスケール)



# 場の量子論の一般相対論への変換



量子臨界系(基底状態)



励起状態, 有限温度

# 臨界点の画像情報を非臨界的情報の和で表すこと

行列の特異値分解

$$M(x, y) = \sum_n U_n(x) \sqrt{\Lambda_n} V_n(y)$$

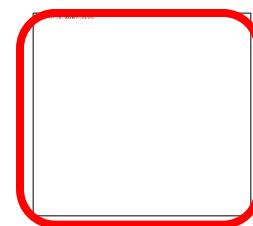
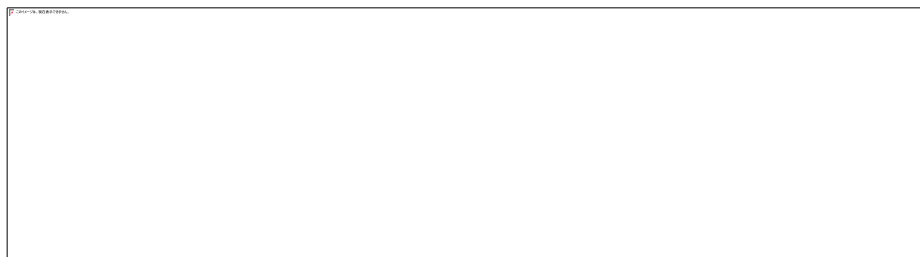
密度行列(相関関数)

$$\rho(x, x') = \sum_n U_n(x) U_n(x') \Lambda_n$$

臨界点では  
 $\Lambda_n \propto n^{\eta-1}$

連続極限での分解公式(Mellin変換)

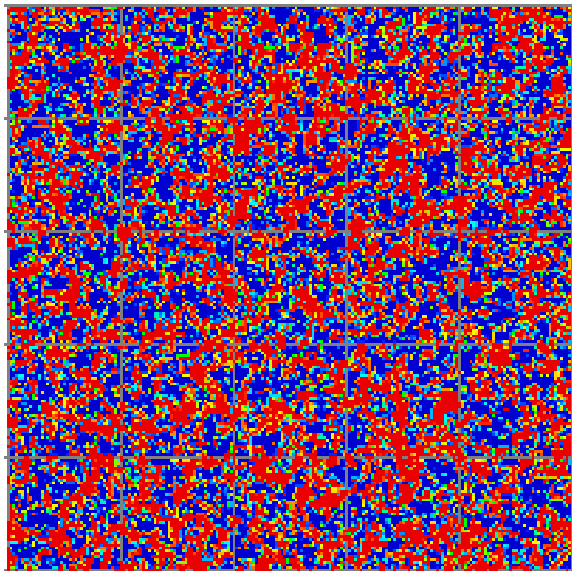
$$\lim_{\eta' \rightarrow \eta-0} \frac{A}{|x-x'|^\eta} \Gamma(\eta - \eta') = \lim_{\eta' \rightarrow \eta-0} \int_0^\infty dz \frac{A e^{-z|x-x'|}}{(z|x-x'|)^{\eta'}} z^{\eta-1}$$



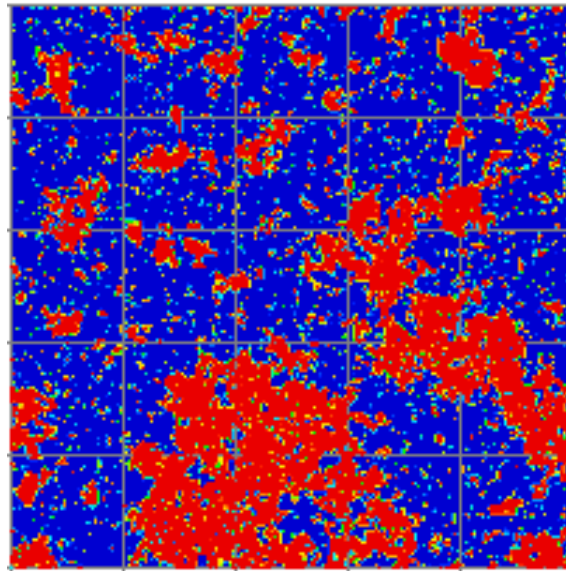
# Monte Carlo Simulation of the 2D Ising Model

Classical Ising Spin Model:  $H = -J \sum_{\langle i,j \rangle} \sigma_i^z \sigma_j^z$       $\sigma_i^z = \pm 1$

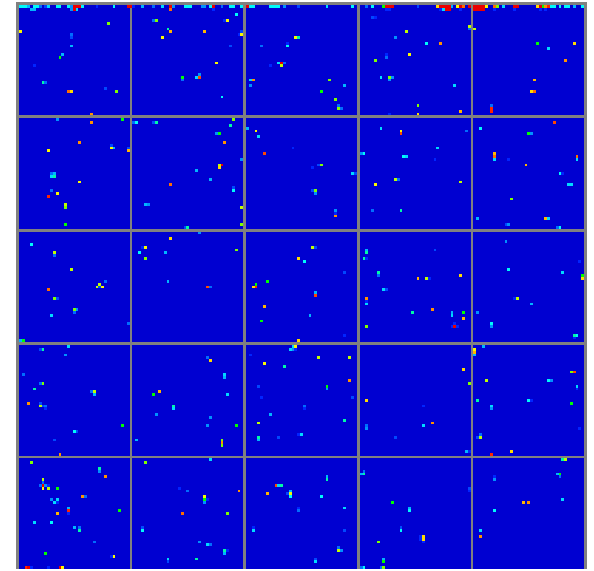
Snapshots at various temperature



(a)  $T = 3.02J$



(b)  $T \approx T_c = 2.27J$



(c)  $T = 1.52J$

$$L = 256 \quad T_c = \frac{2J}{\log(1 + \sqrt{2})} = 2.2692J$$

# 臨界性・フラクタル性と情報量

## 2次元イジング模型

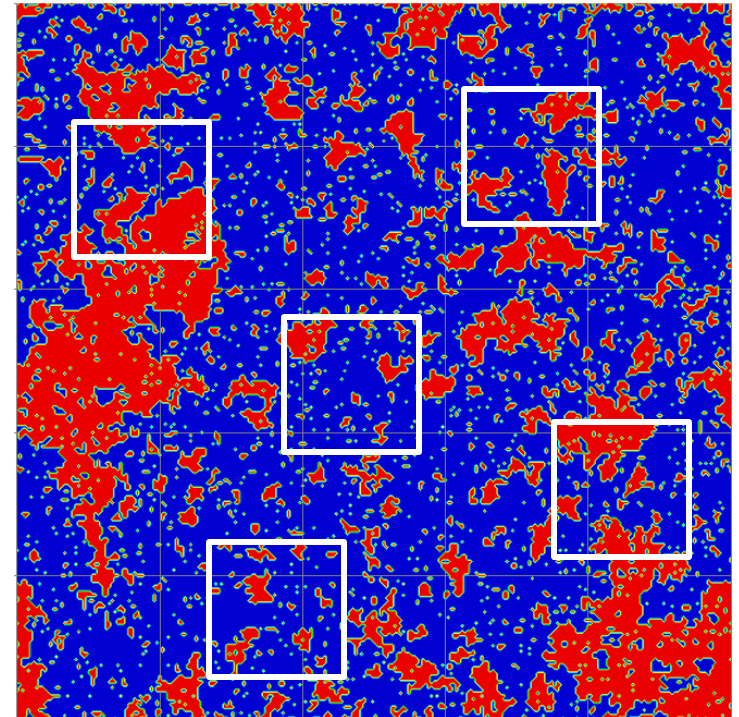
$$H = -J \sum_{\langle i,j \rangle} \sigma_i^z \sigma_j^z$$

臨界点でのスナップショット

→ フラクタル的なスピン構造

白枠で囲まれた部分系の集合

→ 全ての熱揺らぎを近似的に表す



A typical snapshot of  
the Ising model

256x256,  $T=2.26J$

臨界点での1枚のスナップショット ⇔ 分配関数とほぼ同じ情報量

# Density matrix of a snapshot

A snapshot determined by Monte Carlo simulation

$$\begin{array}{c} X \\ \begin{array}{c} Y \\ \begin{array}{|c|c|c|c|} \hline \text{blue} & \text{red} & \text{red} & \text{red} \\ \hline \text{red} & \text{red} & \text{blue} & \text{blue} \\ \hline \text{red} & \text{blue} & \text{blue} & \text{red} \\ \hline \text{blue} & \text{red} & \text{red} & \text{blue} \\ \hline \end{array} \end{array} \end{array} = \begin{array}{c} \psi \\ \left( \begin{array}{cccc} -1 & 1 & 1 & 1 \\ 1 & 1 & -1 & -1 \\ 1 & -1 & -1 & 1 \\ -1 & 1 & 1 & -1 \end{array} \right) \end{array}$$
$$\rho_Y = \psi \psi^* \quad \rho_X = \psi^* \psi$$

Matrix product  $\rightarrow$  trace over partial degree of freedom

# 特異値分解 (Singular Value Decomposition, SVD)

Singular Value Decomposition (SVD) of matrix  $\Psi$  (Snapshot Data)

$$\psi(x, y) = \sum_l U_l(x) \sqrt{\Lambda_l} V_l(y)$$

$\Lambda_l$  : singular value (non-negative, uniquely determined)

$U_l(x), V_l(y)$  : (unitary matrices, various choices)

$$\rho_X(x, x') = \sum_y \psi(x, y) \psi^*(x', y) = \sum_l U_l(x) \Lambda_l U_l^*(x')$$

$$\rho_Y(y, y') = \sum_x \psi(x, y) \psi^*(x, y') = \sum_l V_l(y) \Lambda_l V_l^*(y')$$

Snapshot Entropy  $\rightarrow$  boundary law (not extensive)

$$S_X = -\sum_l \lambda_l \log \lambda_l = S_Y \quad \lambda_l = \Lambda_l / \sum_l \Lambda_l$$

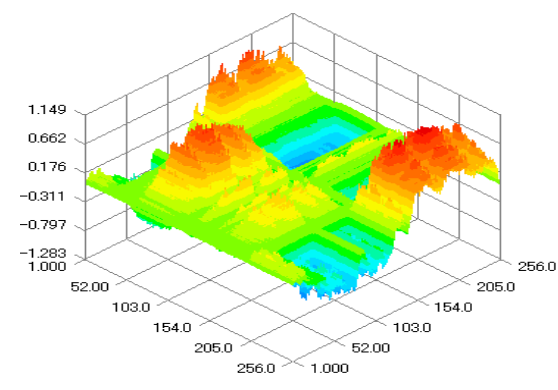
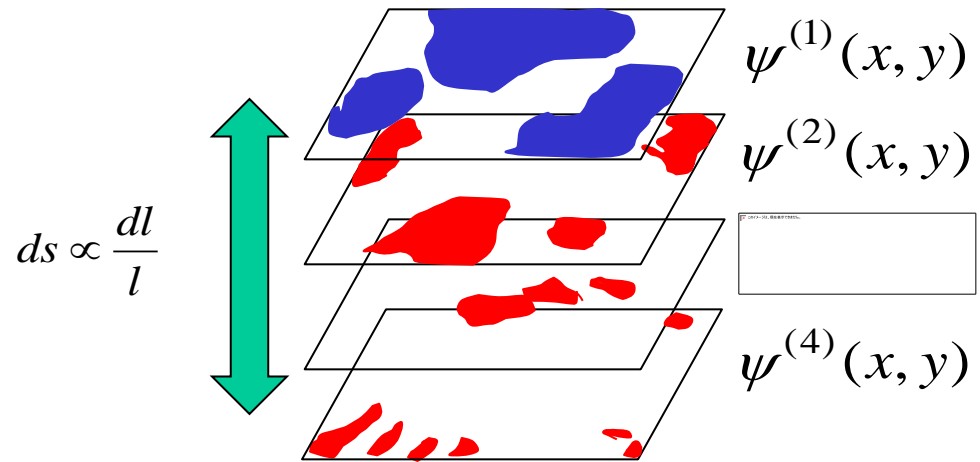
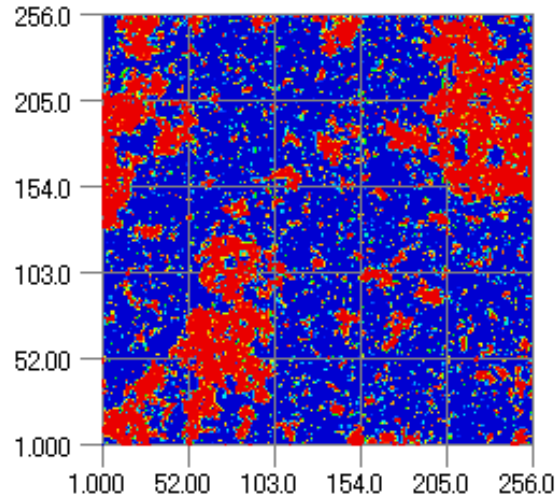


# スナップショット・SVDに隠れた双曲的空間構造

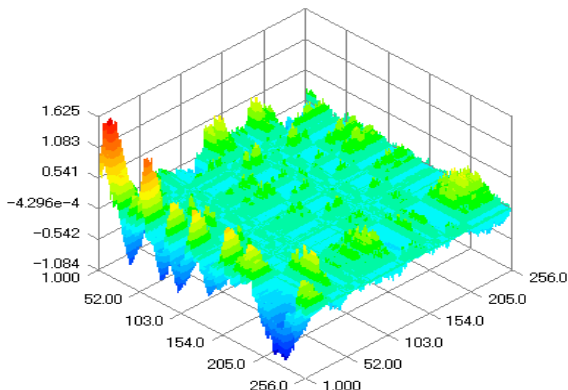
±1エンコーディング

HM, Phys. Rev. E85, 031101 (2012)

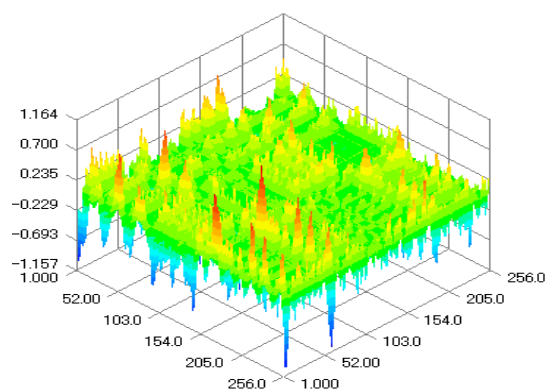
$$\psi(x, y) = \sum_{l=1}^L \psi^{(l)}(x, y) \quad \psi^{(l)}(x, y) = U_l(x) \sqrt{\Lambda_l} V_l(y)$$



$\psi^{(2)}(x, y)$



$\psi^{(4)}(x, y)$

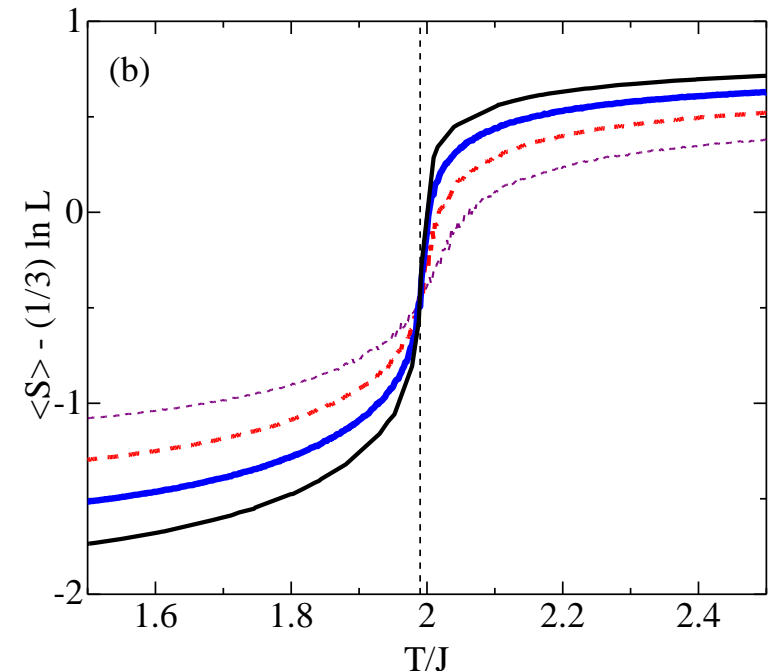
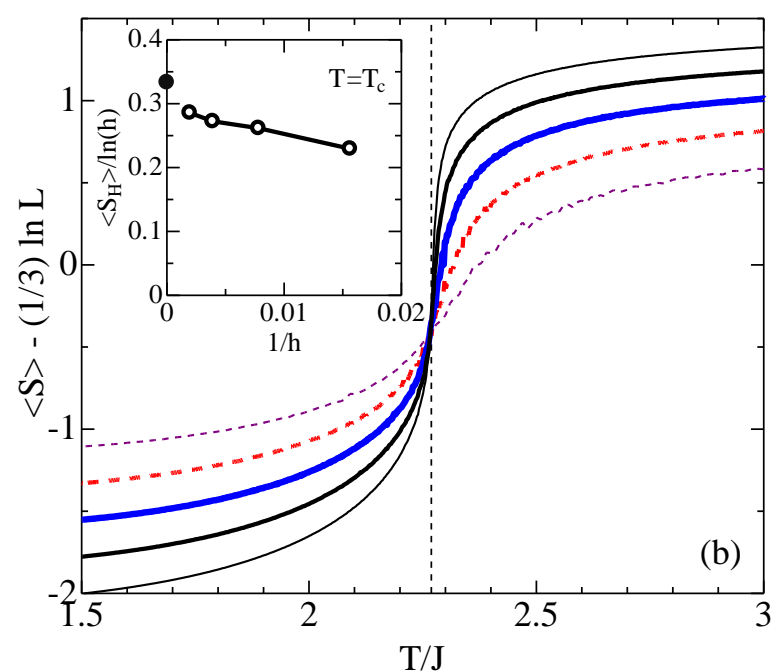


$\psi^{(8)}(x, y)$

# スナップショット・エントロピーのスケーリング公式

(0,1)エンコーディング

HM and D.Ozaki, Phys. Rev. E92, 042167 (2015)



2次元イジング模型 ( $c=1/2$ )

2次元3状態ポッツ模型 ( $c=4/5$ )

スケーリング公式:

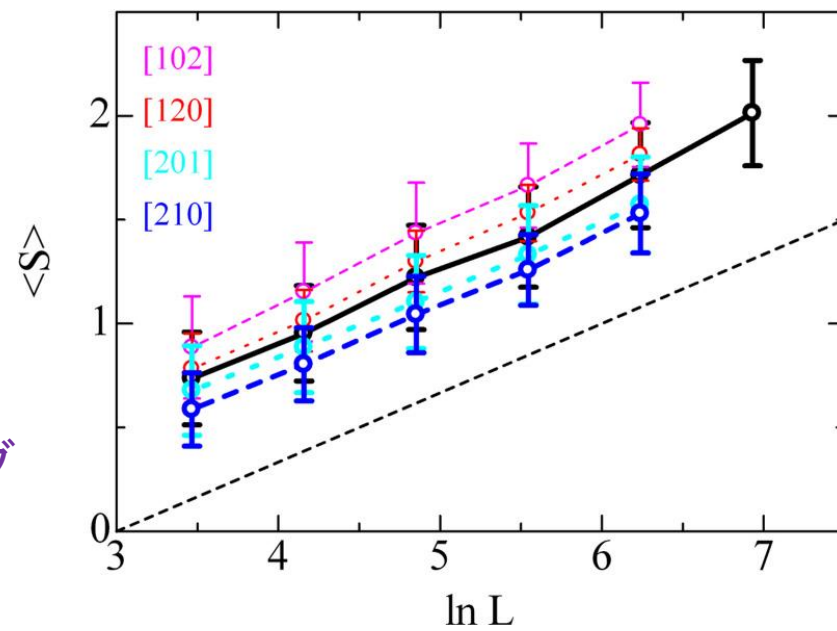
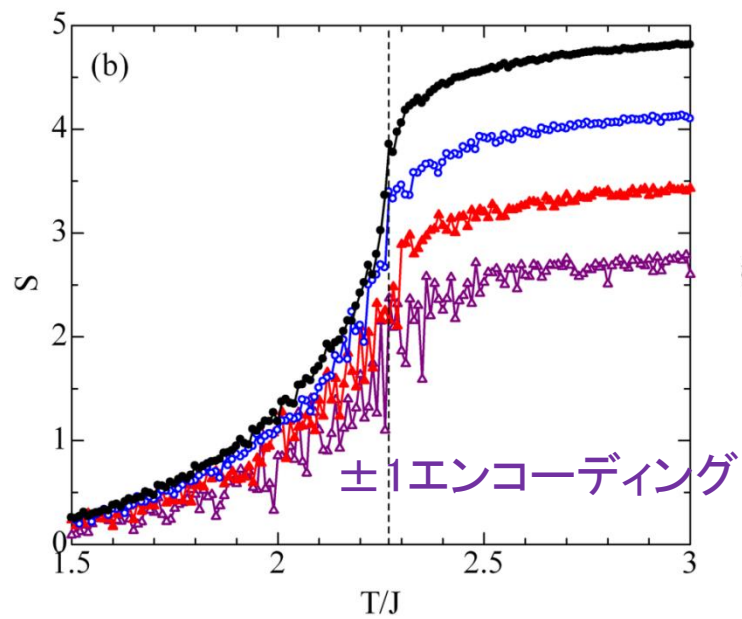
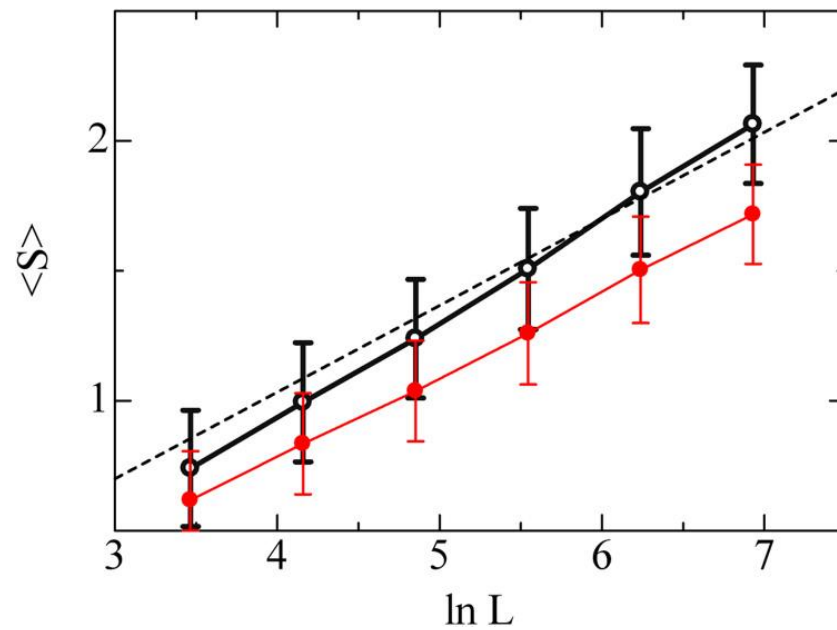
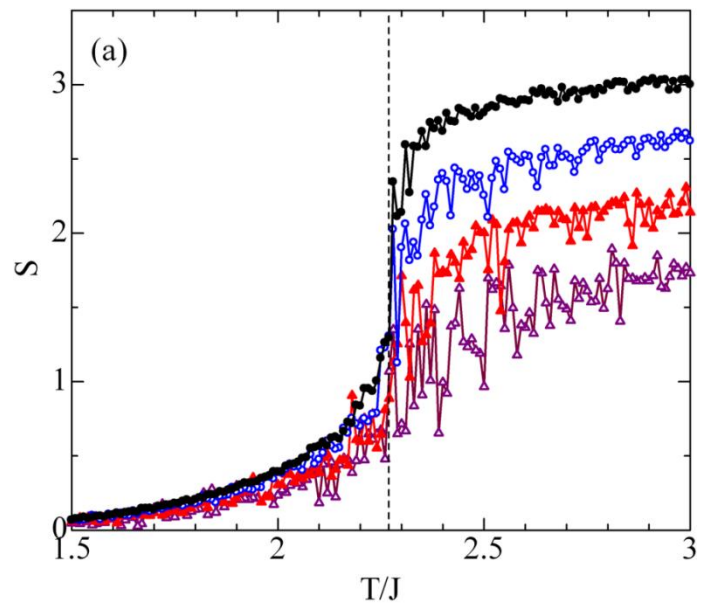
$$\langle S \rangle \approx \frac{1}{3} \log L - \frac{1}{2}$$

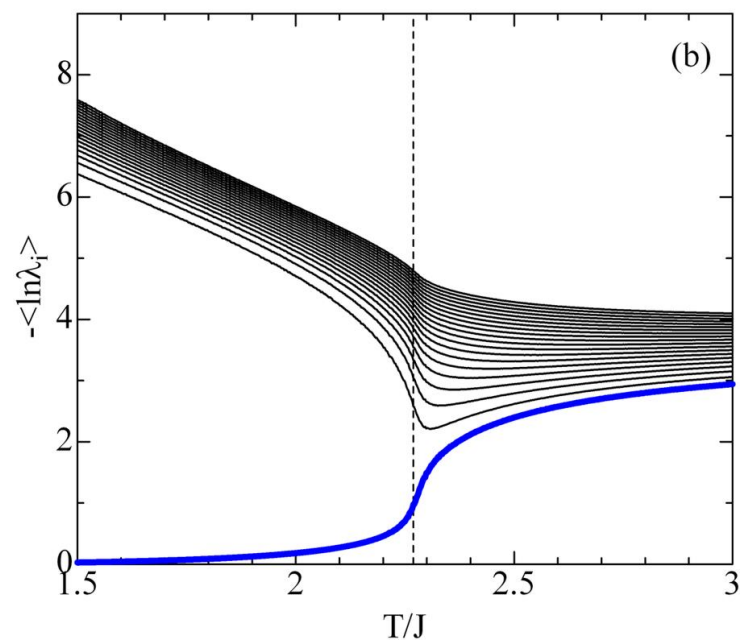
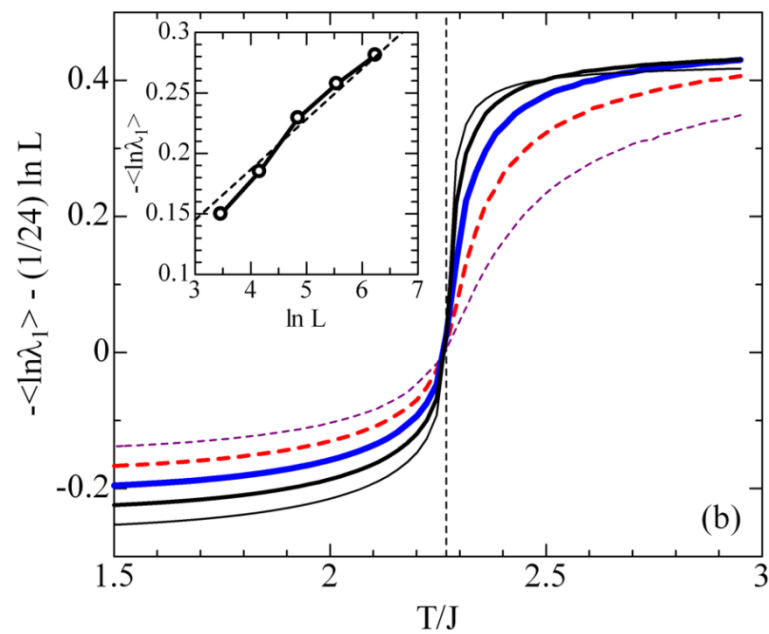
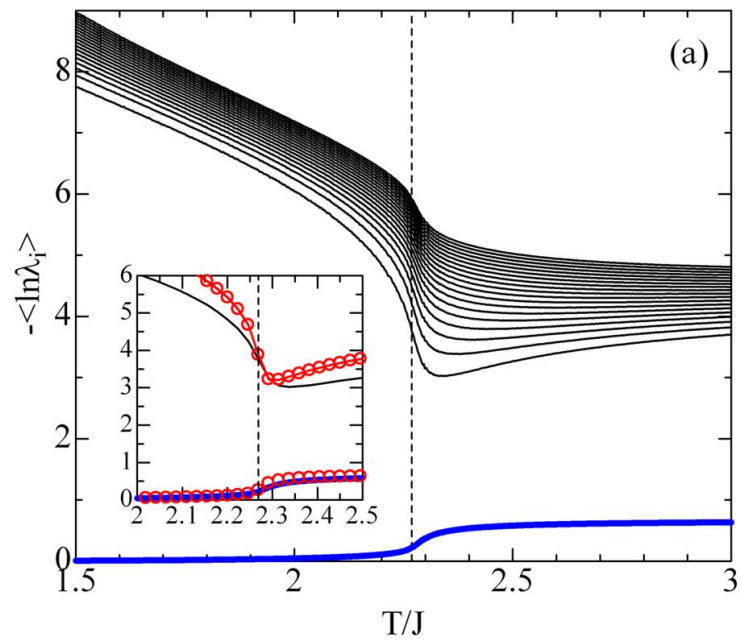
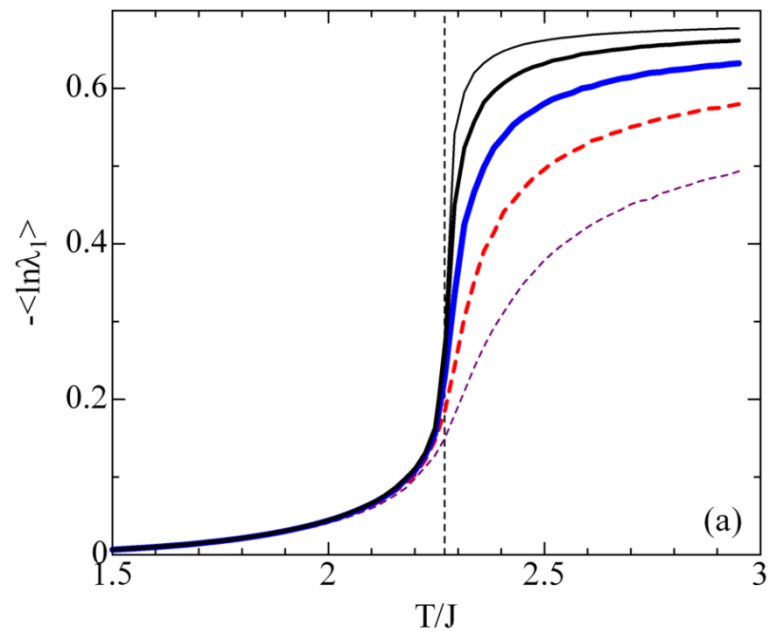
1次元量子臨界系の公式を連想させる.

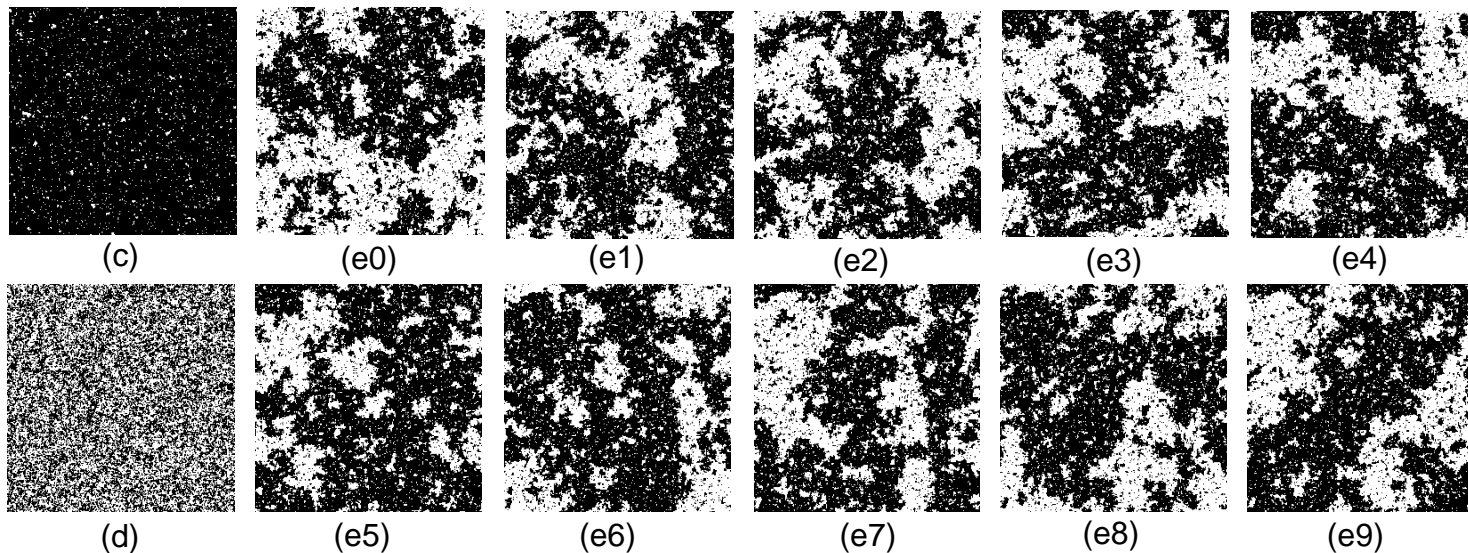
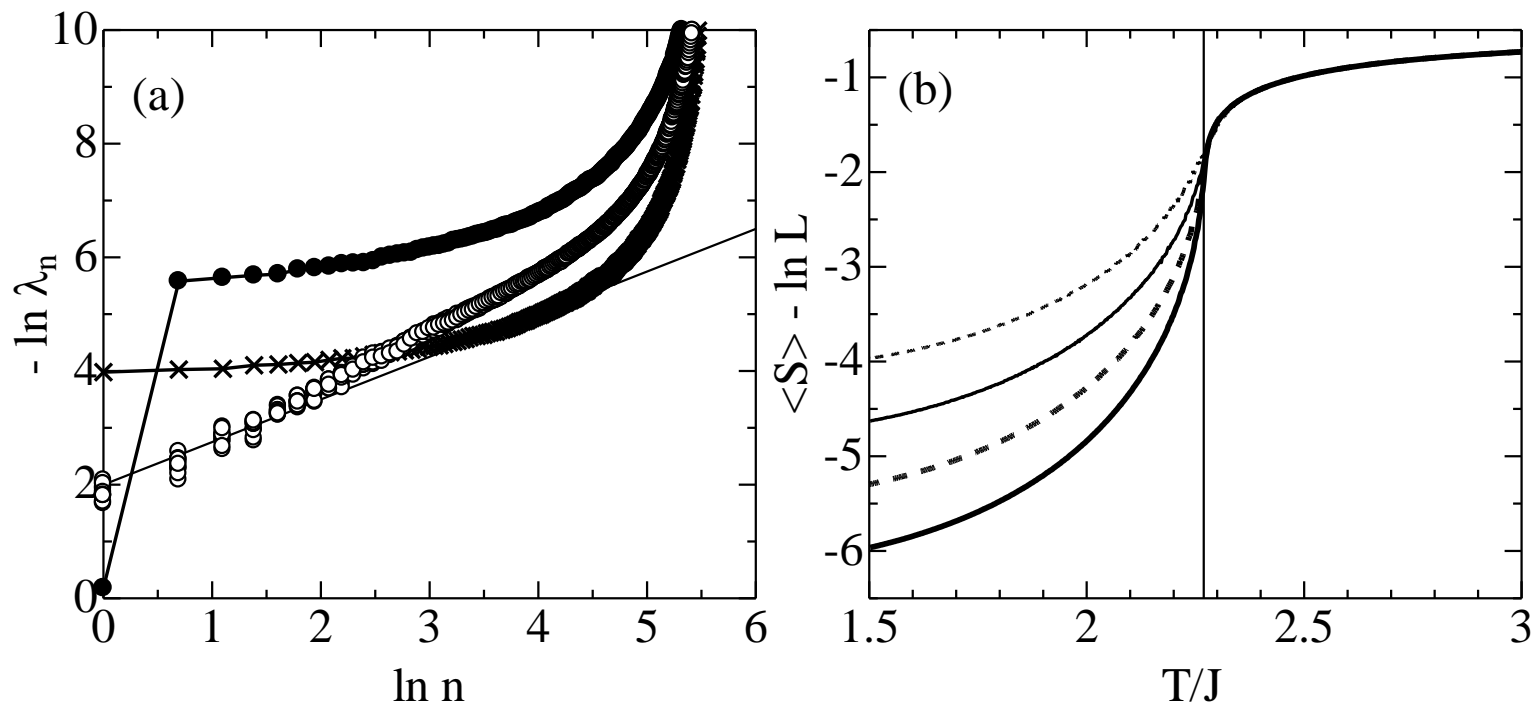
スケーリングの起源

⇒ 前ページのスケール分解の階層数  
 ~ 笠・高柳の式と同等

$$S_{EE} \sim c \langle S \rangle$$







SVD spectrum → 転移点以上で代数的減衰

\* 指数が異常次元を与える

$$f(\lambda) = \sum_n \delta(\lambda - \lambda_n) = A \lambda^{-\alpha} \quad \alpha = \frac{2-\eta}{1-\eta} \quad \leftarrow \text{奥西さん}$$

$$\lambda_n = \frac{a}{n^\Delta} \quad \Delta = 1 - \eta$$

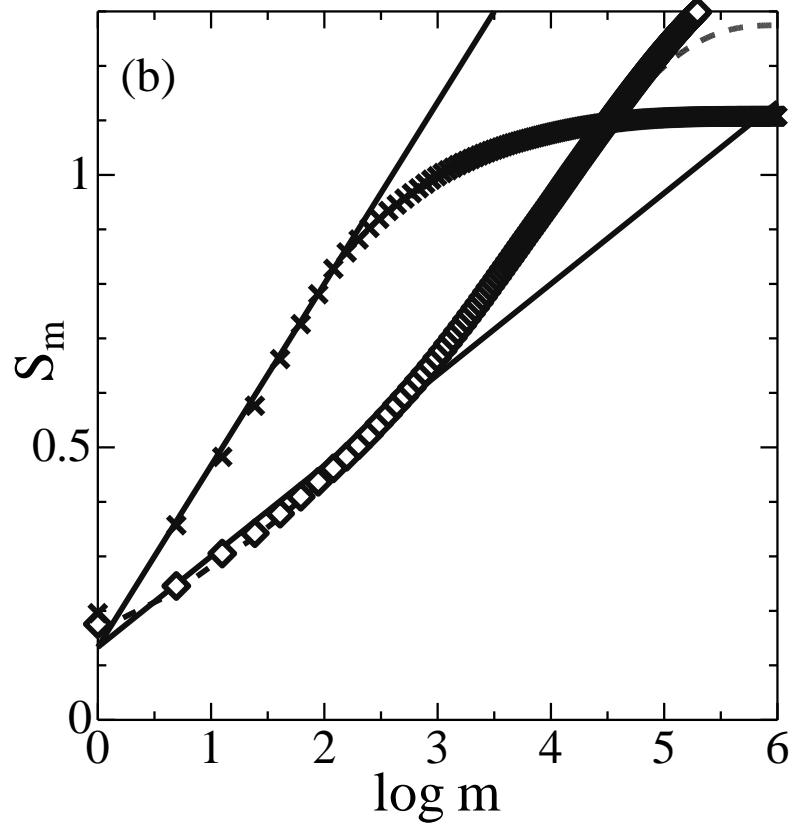
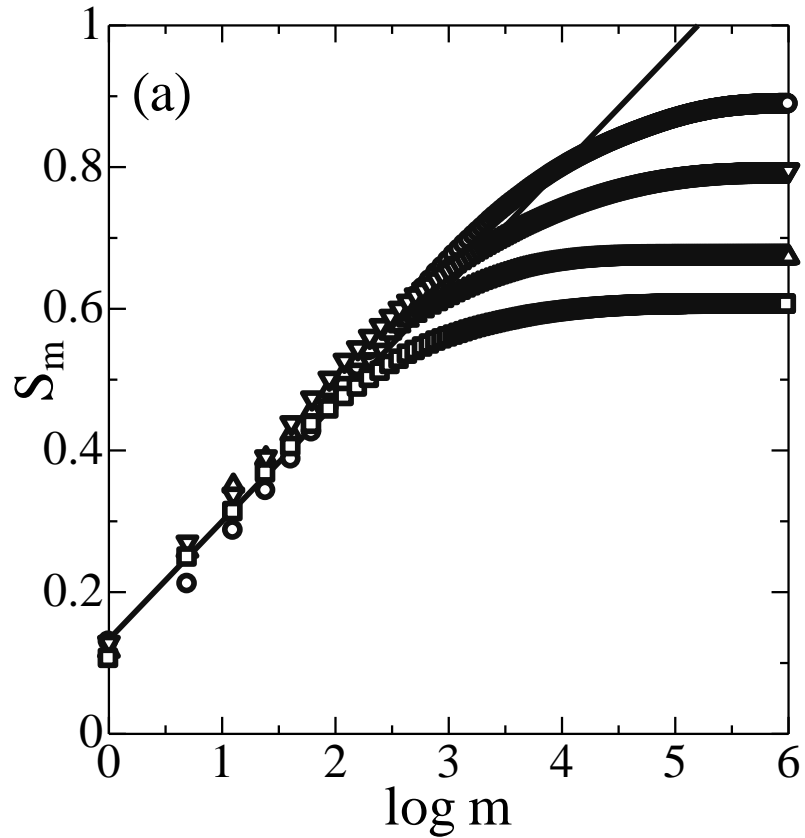
$$S_\chi = - \sum_{n=1}^{\chi} \lambda_n \ln \lambda_n$$

$$\approx \frac{\chi^{1-\Delta} - 1}{N^{1-\Delta} - 1} \left\{ \ln(N^{1-\Delta} - 1) - \gamma(\Delta) \right\} + \frac{\Delta}{N^{1-\Delta} - 1} \chi^{1-\Delta} \ln \chi$$

$$S_L = \ln L - \gamma(\Delta) \quad \gamma(\Delta) = \ln(1 - \Delta) + \frac{\Delta}{1 - \Delta}$$

高温極限 ⇒ ランダム行列理論  $S_L = \ln L - \frac{\pi}{4}$

# 現実的な画像でもスケージングは見られる



○zebra, △largo, ▽matsueda office, □cat, ×flower, ◇tree

$$S_m = -\sum_{l=1}^m \lambda_l \log \lambda_l \approx \frac{1}{6} \log m + \gamma$$

# Tensor-product construction of Sierpinski carpet

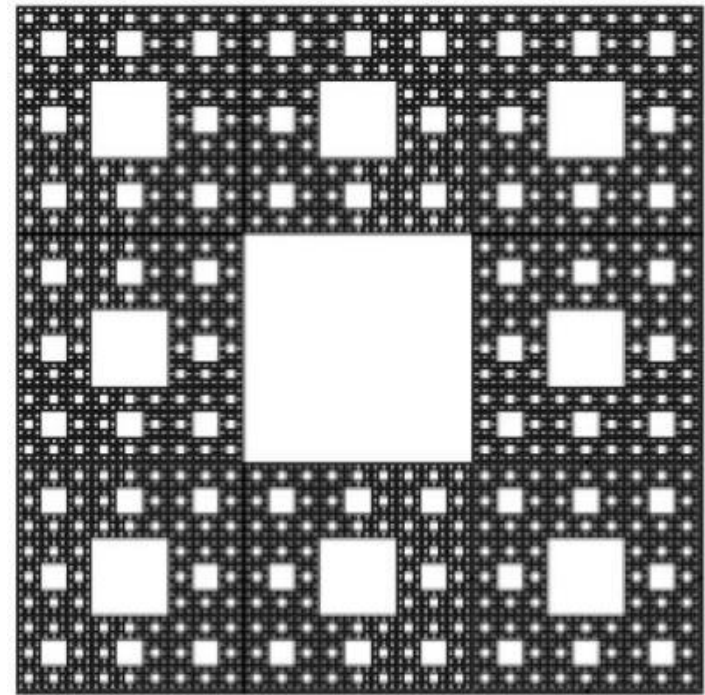
$h \times h (= 3 \times 3)$  unit cell

$$H = \begin{pmatrix} 1 & 1 & 1 \\ 1 & 0 & 1 \\ 1 & 1 & 1 \end{pmatrix}$$

Factorized form

$$M = H \otimes H \otimes \dots \otimes H \otimes H$$

$$H \otimes H = \begin{pmatrix} 1 & 1 & 1 & 1 & 1 & 1 & 1 & 1 & 1 \\ 1 & 0 & 1 & 1 & 0 & 1 & 1 & 0 & 1 \\ 1 & 1 & 1 & 1 & 1 & 1 & 1 & 1 & 1 \\ 1 & 1 & 1 & 0 & 0 & 0 & 1 & 1 & 1 \\ 1 & 0 & 1 & 0 & 0 & 0 & 1 & 0 & 1 \\ 1 & 1 & 1 & 0 & 0 & 0 & 1 & 1 & 1 \\ 1 & 1 & 1 & 1 & 1 & 1 & 1 & 1 & 1 \\ 1 & 0 & 1 & 1 & 0 & 1 & 1 & 0 & 1 \\ 1 & 1 & 1 & 1 & 1 & 1 & 1 & 1 & 1 \end{pmatrix}$$



Fractal image

→  $L \times L$  matrix

→  $N$  different scales

$$L = h^N$$



# SVD spectrum of Sierpinski carpet

$$M = H \otimes H \otimes \dots \otimes H \otimes H \quad \left( - \sum_{i=\pm} \gamma_i \ln \gamma_i \right) \frac{1}{\ln h} = \frac{c}{3}$$

$$M^2 = H^2 \otimes H^2 \otimes \dots \otimes H^2 \otimes H^2$$

Two non-zero eigenvalues of  $H^2$  :  $\Gamma_{\pm} = 4 \pm 2\sqrt{3}$

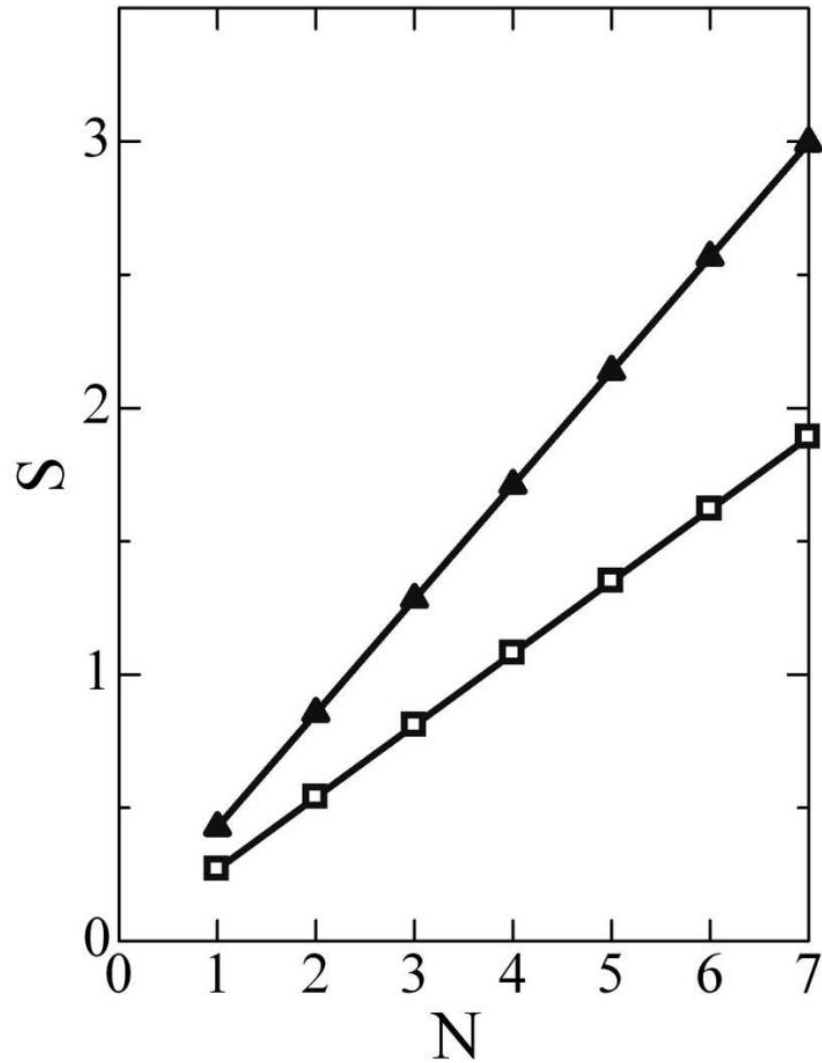
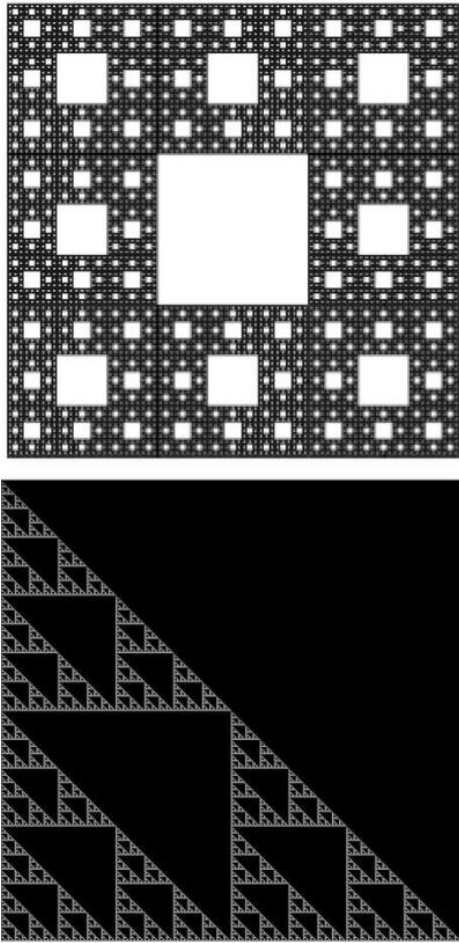
Normalization of  $\Gamma$  :  $\gamma_{\pm} = \frac{1}{2} \pm \frac{\sqrt{3}}{4}$   $\gamma_- = 1 - \gamma_+$

Eigenvalues of  $M^2$  :  $\lambda_j = \gamma_+^j \gamma_-^{N-j} = \gamma_+^j (1 - \gamma_+)^{N-j}$  (Degeneracy :  ${}_N C_j$ )

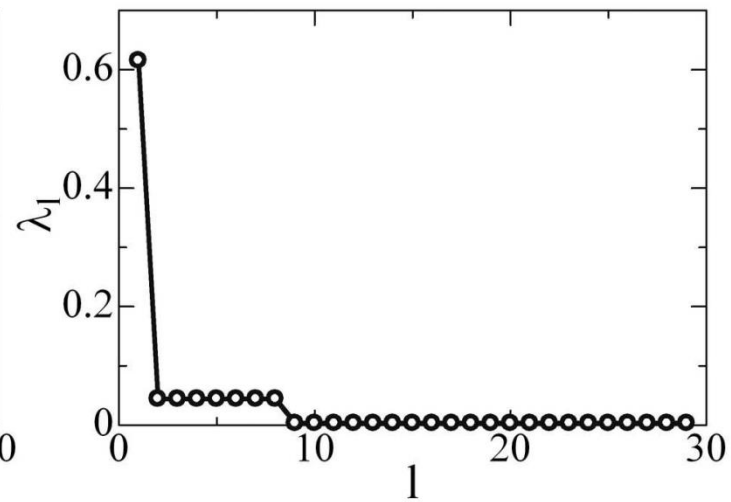
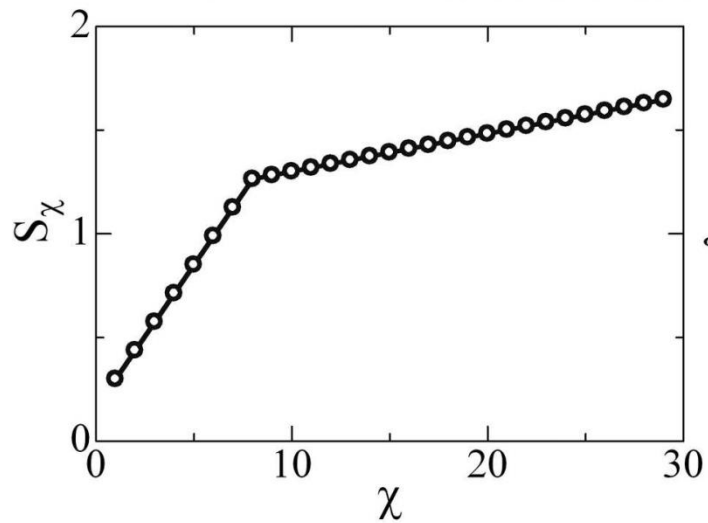
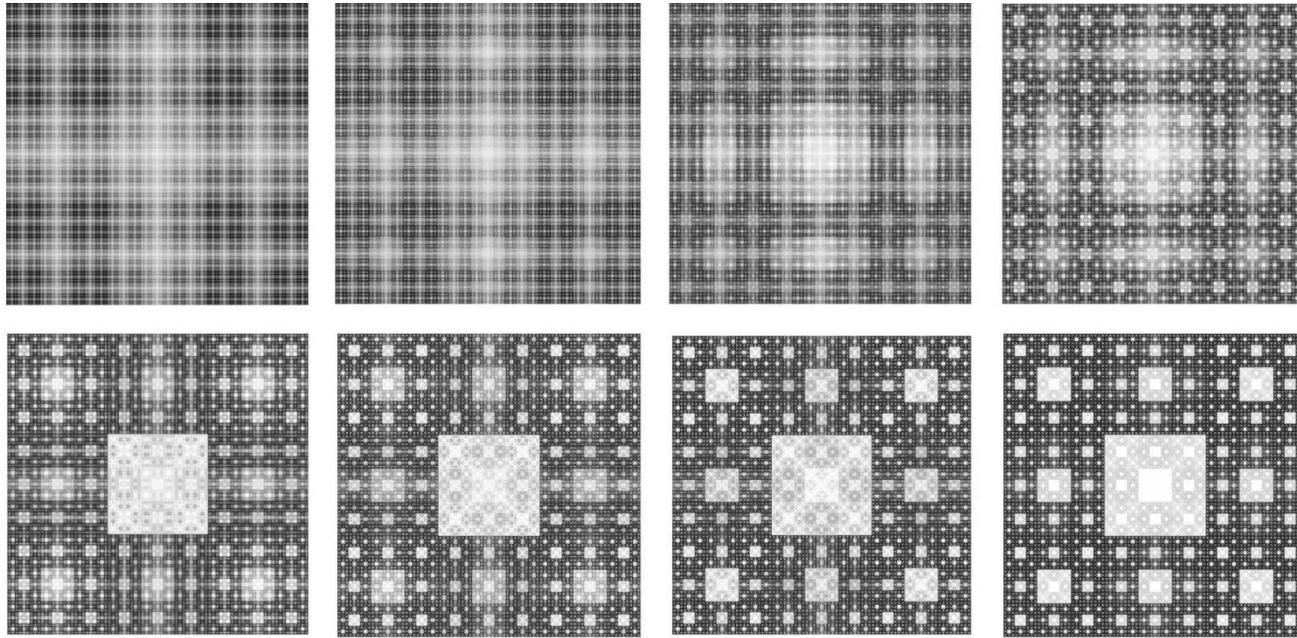
Snapshot entropy  $\Leftrightarrow$  entanglement entropy of 1D free fermions

$$S = - \sum_{j=0}^N {}_N C_j (\lambda_j \ln \lambda_j) = \left( - \sum_{i=\pm} \gamma_i \ln \gamma_i \right) N = \left( - \sum_{i=\pm} \gamma_i \ln \gamma_i \right) \frac{\ln L}{\ln h}$$

# Snapshot entropy as a function of layer number N (Numerical calculation)



# Coarse-grained snapshot entropy



# Finite- $\chi$ scaling

アムラさんからの指摘：  
オーバーオールに見れば、  
線形ではなくて対数的に見える。

Fractal  $\rightarrow$  degenerate eigenvalues

We focus on the first  $(N+1)$ -th eigenvalues

$$\lambda_2 = \lambda_3 = \cdots = \lambda_{N+1}$$

$$S_\chi = -\lambda_1 \log \lambda_1 - (\chi - 1) \lambda_2 \log \lambda_2$$

$$\lim_{\chi \rightarrow 0} S_\chi = 0 \Rightarrow -\lambda_1 \log \lambda_1 = -\lambda_2 \log \lambda_2 \Rightarrow S_\chi = S_1 \chi$$

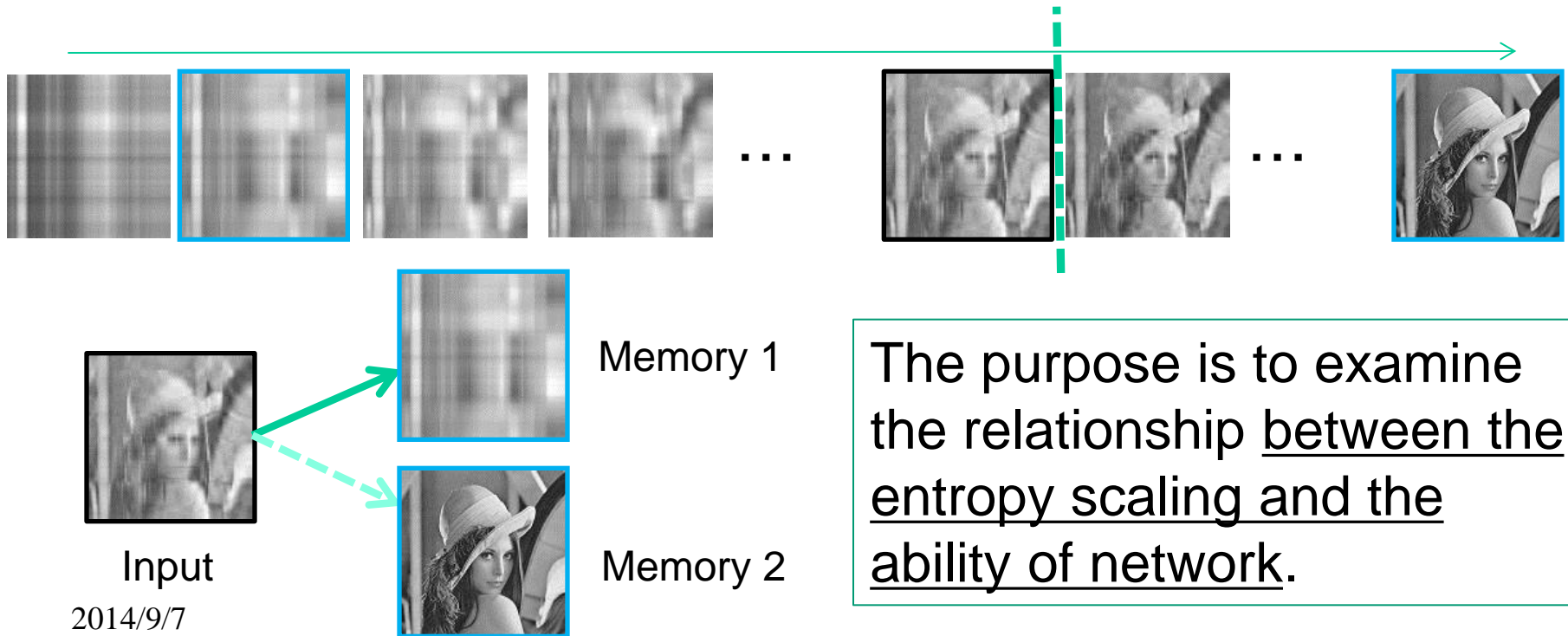
cf. finite-entanglement scaling near 1D quantum criticality

$$S_\chi = \frac{c\mathcal{K}}{6} \log \chi = \frac{1}{\sqrt{12/c} + 1} \log \chi$$

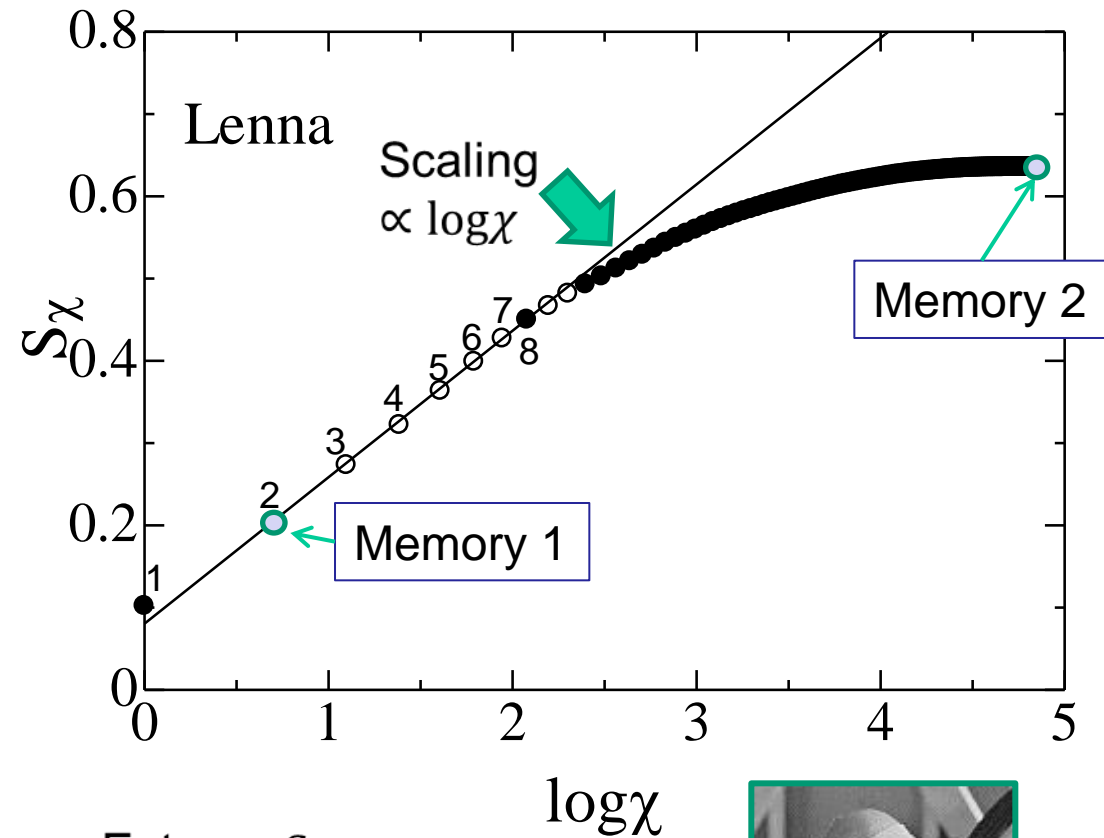
Their difference may come from violation on full conformal symmetry on the fractal image that has just scale invariance.

# ニューラルネットワークの連想記憶機能とスケーリング

- Learning two images which are the original image and the depleted one.
- Input image is the intermediate one.
- Those are generated by SVD.



# Method(SVD)



Entropy  $S_\chi$

$$S_\chi = - \sum_{l=1}^{\chi} \lambda_l \ln(\lambda_l)$$

